U. of ILL LIBRARY
JUN 19 1973
CHICAGO CIRCLE

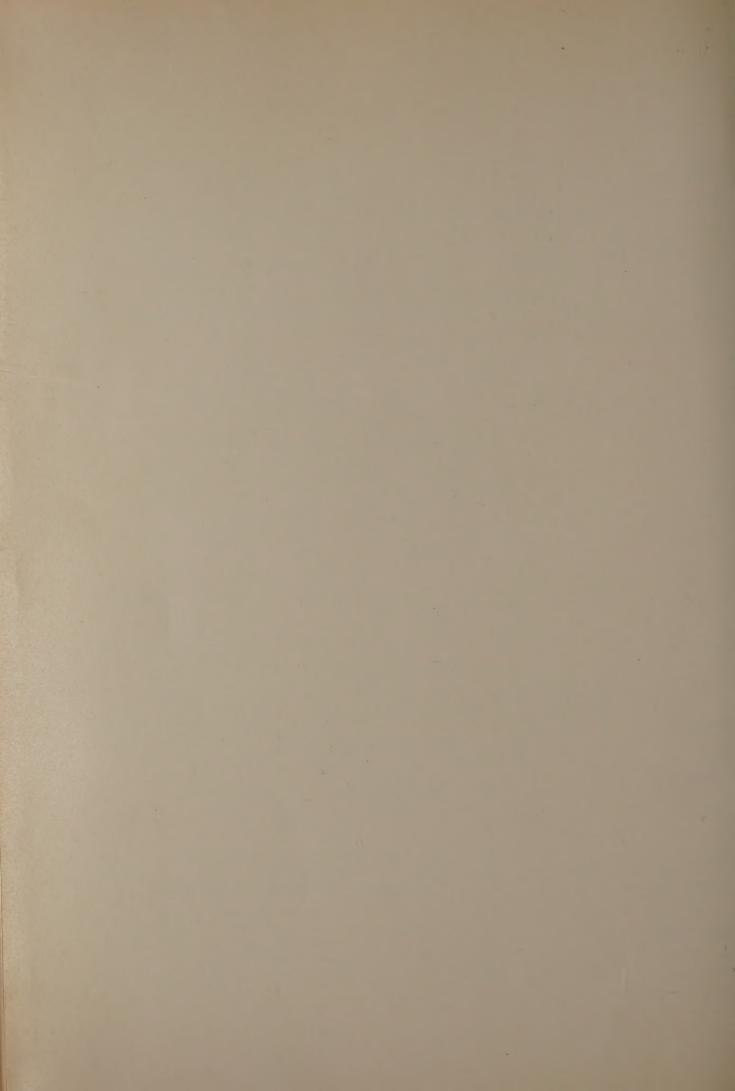
JOURNAL de PHYSIQUE



EUROPHYSICS JOURNAL



PUBLICATION DE LA SOCIÉTÉ FRANÇAISE DE PHYSIQUE SUBVENTIONNÉE PAR LE C.N.R.S.



INDEX AUTEURS PAR MATIÈRE

PHYSIQUE THÉORIQUE

Ganais (E.). — Voir Insca (E.)	811	evaluation of branching rules for linear	
Ilisca (E.) et Gallais (E.). — Sur le spectre des		groups using mappings between weight	
ondes de spin de surface	811	spaces	145
King (R. C.) and Plunkett (S. P. O.). — The		Plunkett (S. P. O.). — Voir King (R. C.)	145
	PHYSIQUE	NUCLÉAIRE	
	- I ste Islant		
Abou-Leila (H.). — Voir Albouy (G.)	835	Argan (P.), Audit (G.), de Botton (N.), Laget	
Alard (J. P.), Avan (L.), Avan (M.), Baldit (A.),		(JM.), Martin (J.), Schuhl (C.) et	
Costilhes (J. P.), Cordaillat (A.), Dher-		Tamas (G.). — Section efficace de la	
main (J.), Fraysse (L.), Fargeix (J.),		réaction ${}^{4}\text{He}(\gamma, p\pi^{-})$ au voisinage de la	1000
Roche (G.) et Tamain (J. C.). — Etude		résonance △(1236)	C5-III-13
expérimentale et théorique de la produc- tion de nucléides légers rapides dans les		Argan (P. E.), Audit (G.), de Botton (N.),	
interactions proton-noyau à haute énergie	477	Laget (JM.), Martin (J.), Schuhl (C.) et Tamas (G.). — Photodésintégration	
Albinsson (H.). — Measurements of lifetimes		de l'helium-3 dans la région du $\Delta(1236)$	C5-III-21
and gamma energies on neutron-rich nuclei		Armbruster (P.), Mokler (P. H.) and Stein (H.	00 111 21
produced ion the fission process	C5-I-30	J.). — In-flight X-ray measurements:	
Albouy (G.), Lagrange (J. M.), Pautrat (M.),		a technique for identification of recoil	
Poffe (N.), Roulet (C.), Sergolle (H.) and		products, E. G. superheavy elements	C5-II-61
Vanhorenbeeck (J.). — Isotopes du plomb formés par réaction (ions lourds, xn)	C5-II-70	Audit (G.). — Voir Argan (P.)	C5-II-13
A CONTRACTOR OF THE PROPERTY O	C3-I1-70	Audit (G.). — Voir Argan (P. E.)	C5-III-21
Albouy (G.), Lagrange (J. M.), Pautrat (M.), Rimbert (J. N.), Roulet (C.), Sergolle (H.),		Auger (J. P.) Voir Lombard (R. J.)	C5-III-38
Vanhorenbeeck (J.) et Abou-Leila (H.).		Auriol (E.), Bussière (A.), Dupont (J.),	
Probabilités de transition E1 dans les iso-		Lefèvre (M.), Lemarchand (G.), Millaud	
topes de plomb de masse 200, 198, 196	925	(J.), Mougey (J.), Phan Xuan Ho,	
et 194	835	Riou (M.), Royer (D.) and Sick (I.). —	C5-III-5
Albouy (G.), Lagrange (J. M.), Pautrat (M.), Roulet (C.), Sergolle (H.) et Vanhoren-		(e, e' p) reactions at 500 MeV	
beeck (J.). — Etats de moment angulaire		Avan (L.). — Voir Alard (J. P.)	477
élevé dans les isotopes du plomb déficients		Avan (M.). — Voir Alard (J. P.)	477
en neutrons	C5-II-71	Avignon (P.). — Voir Tamisier (R.)	625
Aleonard (M. M.). — Voir Leccia (F.)	451	The state of the s	
Allardyce (B. W.), Batty (C. J.), Baugh (D. J.),		Babinet (R.). — Voir Nifenecker (H.)	C5-I-24
Friedman (E.), Heymann (G.), Cage (M.),		Bachelier (D.), Bernas (M.), Bilaniuk (O. M.),	
Pyle (G. J.), Squier (G. T. A.), Clough (A. S.), Cox (J.), Jackson (D. F.), Muru-		Boyard (J. L.), Jourdain (J. C.) and Rad-	
gesu (S.) and Rajaratnam (V.). — Total		vanyi (P.). — Quasifree (p, pα) reactions at 156 MeV on some intermediate and	
reaction cross-section for pions on nuclei,		heavy nuclei	C5-III-3
and neutron density distributions	C5-III-39	Bachelier (D.), Bernas (M.), Boyard (J. L.),	
Alzetta (R.), Bleuler (K.), Erkelenz (K.) and		Devries (R.), Harney (H. L.), Jourdain	
Holinde (K.). — A relativistic one-boson-		(J. C.), Radvanyi (P.) et Roy-Stephan	
exchange-potential and its relation to the		(M.). — Mesure du terme d'échange par	
two-nucleon data and the nuclear matter	C5-III-45	la distribution angulaire complète de la diffusion des α de 166 MeV sur le ⁶ Li	C5-III-35
Amiel (A.). — Voir Lambert (M.)	155	Bachelier (D.), Bernas (M.), Boyard (J. L.),	. 112.11
Anderson (D. K.). — Voir Bergaw (R. W.)	C5-III-18	Jourdain (J. C.) et Radvanyi (P.).	
Anyas Weiss (N.). — Voir Panogiotou (A. D.)	C5-II-41	Resonance 3-3 dans la photoproduction	
Anyas-Weiss (N.). — Voir Scott (D. K.)	C5-II-39	3 He(γ , π +) 3 H	C5-III-15
Anyas-Weiss (N.). — Voir Scott (D. K.)	C5-II-22	Backenstoss (G.). — Voir Tauscher (L.)	C5-III-41
Ardouin (D.). — Voir Tamisier (R.)	625	Backenstoss (G.). — Voir Koch (H.)	C5-III-42
Ardonn (D.) You Tannisier (K.)			

Backenstoss (G.), Bamberger (A.), Bergström		Bernas (M.). — Voir Bachelier (D.)	C5-III-35
(I.), Bunaciu (T.), Egger (J.), Hagelberg (R.), Koch (H.), Lynen (V.), Ritter (H.),		Betz (H. D.) and Schnopper (H. W.). — X-ray emission of highly stripped ions	C5-II-80
Schwitter (A.) and Tauscher (L.). — Particle physics aspects in hadronic atoms Balashov (V. V.). — Hadron-nucleus and	C5-III-43	Bianchi (L.), Cotton (E.) and Papineau (A.). — Preliminary results of determination by	
nucleus-nucleus scattering at high ener-		magnetic analysis of energies in reaction	C5-II-46
gies	C5-127	54Fe(16O, 12C)58Ni	
Baldit (A.). — Voir Alard (J. P.)	477	Bilanuk (O. M.). — Voir Bachelier (D.)	C5-III-3
Balian (R.). — Effets de couche dans la fission	C5-17	Bimbot (L.). — Voir Brissaud (I.)	C5-III-40
Bamberger (A.). — Voir Backenstoss (G.)	C5-III-43 C5-III-42	Bimbot (R.), Maison (J.) and Rivet (M. F.). — Recoil study of transfer reactions induced	
Baranger (M.). — Voir Koch (H.) Baranger (M.). — A microscopic view of	C3-111-42	with ⁴⁰ Ar in heavy nuclei	C5-II-20
nuclear collective properties	C5-61	Bjornholm (S.). — Intermediate structures in	
Barnéoud (D.), Foin (C.), Baudry (A.), Gizon		fission. Spectroscopy of shape isomers	C5-33
(J.), Gizon (A.) et Valentin (J.). — Ni-		Blecher (M.). — Voir Bercaw (R. W.)	C5-III-18
veaux rotationnels de spin élevé dans	15	Bleszyński (M.) and Malecki (A.) Short-	
Barnéoud (D.). — Voir Johnson (A.)	C5-II-73	range correlations and multiple scattering	
Basile (R.), Galin (J.), Guerreau (D.), Lefort		effects in nucleon emission induced by	C5-III-2
(M.) et Tarrago (X.). — Réactions		high energy hadrons	C5-III-45
nucléaires par ions lourds. Phénomènes		Bleuler (K.). — Voir Alzetta (R.)	
frontières entre le processus de noyau composé et les effets directs de transfert.	9	Bleuler (K.). — Voir Wagner (S.)	C5-III-46
Bassani (G.), Devries (R. M.), Foti (A.), Pap-	J	Blons (J.), Derrien (H.) et Michaudon (A.). — Mise en évidence d'une structure inter-	
palardo (G.) and Saunier (N.). — A quan-		médiaire dans la section efficace de fission	
titative study of the 6Li induced multi-	CE II 22	de ²³⁹ Pu	C5-I-20
nucleon transfer reactions Bassani (G.), Foti (A.), Gerardin (C.), Saunier	C5-II-33	Blum (D.), Boucrot (J.), Grossetete (B.),	
(N.) and Wery (M.). — Some ⁶ Li and ⁷ Li		McGill (W.) et Nguyen Ngoc (H.). —	
reactions induced on gaseous targets	C5-II-32	Photoproduction du méson π ⁻ sur le deu- térium autour de la première résonance.	C5-III-14
Bassani (G.), Foti (A.), Pappalardo (G.),		Bock (R.). — Voir Gelbke (C. K.)	C5-II-1
Raynal (J.), Saunier (N.) and Traore (B.		Bock (R.). — Voir Gelbke (C. K.)	C5-II-62
M.). — Optical model analysis of ⁶ Li elastic scattering	C5-II-3	Bohlen (H. G.), Feil (M.), Gamp (A.),	1 (50) 000
Batty (C. J.). — Voir Allardyce	C5-III-39	Marquardt (N.) von Oertzen (W.) and	
Baudry (A.). — Voir Barnéoud (D.)	15	Kohlmeyer (B.). — Nucleon exchange in	CE II 22
Baugh (D. J.). — Voir Allardyce (B. W.)	C5-III-39	the scattering of carbon isotopes	C5-II-23
Beaumevieille (H.). — Voir Lambert (M.)	155	Bohlen (H. G.). — Voir Gelbke (C. K.)	C5-II-1
Beccaria (C.). — Voir Becker (F.)	C5-II-8	Boisson (J. P.) et Gignoux (C.). — Une méthode de calcul de voies couplées	183
Beccaria (C.). — Voir Becker (F.)	C5-II-9	Bonche (P.), Cunsolo (A.), Giraud (B.),	103
Becchetti (F. D.). — Voir Harvey (B. G.)	C5-II-44	Lemaire (MC.), Mermaz (M. C.) and	
Becchetti (F. D.). — Voir Pühlhofer (F.)	C5-II-19	Quebert (J. L.). — Reaction mechanism-	
Becker (F.) and Beccaria (C.). — Heavy ions		study in the 1 f-2 p shell of (16O, 12C) four	CE II 40
scattering at low energy in the framework	C5-II-8	nucleon-transfer-reaction Bonche (P.) and Giraud (B.). — Generator-	C5-II-48
of molecular orbitals Becker (F.) and Beccaria (C.). — Resonance	C3-11-0	coordinate form factors for transfer reac-	
exchange scattering of heavy ions at low		tions between heavy ions	C5-JI-26
energy including excitations	C5-II-9	Boschitz (E. T.). — Voir Bercaw (R. W.)	C5-III-18
Bellicard (JB.). — Voir Phan Xuan Ho	C5-III-49	Bouchez (R.) and Jungerman (J.). — A three-	
Bemis (C. E.). — Voir Milner (W. T.)	C5-II-76	nucleon problem at high energy: energy	
Bercaw (R. W.), Vincent (J. S.), Boschitz (E.		dependence of backward p-d elastic	C5-III-10
T.), Blecher (M.), Gotow (K.), Ander-		scattering below 1 GeV Boucrot (J.). — Voir Blum (D.)	C5-III-10
son (D. K.), Kerns (R.), Minehart (R.), Ziock (K.) and Johnson (R.). — Elastic		Bounin (P.). — Voir Koch (H.)	C5-III-42
scattering of negative pions from 16O in		Bouquet (B.), Buon (J.), Grelaud (B.), Nguyen	05 111 42
the region of the (3,3) resonance	C5-III-18	Ngoc (H.), Petroff (P.), Riskalla (R.) et	
Berg (V.), Letessier (J.), Bourgeois (C.) et		Tchapoutian (R.). — Photoproduction	
Foucher (R.). — Mesures de vies moyennes d'états excités dans les lanthanes 135		cohérente du meson neutre π ⁰ sur le deu-	
et 133	829	térium du voisinage de la première réso- nance	C5-III-16
Bergström (I.). — Voir Tauscher (L.)	C5-III-41	Bourgeois (C.). — Voir Berg (V.)	829
Bergström (I.). — Voir Koch (H.)	C5-III-42	Boyard (J. L.). — Voir Bachelier (D.)	C5-III-3
Bergström (I.). — Voir Backenstoss (G.)	C5-III-43	Boyard (J. L.). — Voir Bachelier (D.)	C5-III-15
Bernas (M.). — Voir Bachelier (D.)	C5-III-3	Boyard (J. L.). — Voir Bachelier (D.)	C5-III-35
Rernas (M) - Voir Rachelier (D)	C5-III-15	Brown-Munzinger (P) - Voir Celhke (C K)	C5-II-1

Braun-Munzinger (P.), Gelbke (C. K.), Gra-		Clough (A. S.). — Voir Allardyce (B. W.)	C5-III-39
ma (N.), Homeyer (H.), Ridinger (E.) and Stock (R.). — Is there a selectivity in the		Coceva (C.). — Voir Corvi (F.)	C5-I-18
(16O, 12C) reactions on the Ar isotopes?	C5-II-38	Cochavi (S.), Kistner (O.), McKeown (M.) and	
Brink (D. M.). — Voir Scott (D. K.)	C5-II-22	Scharff-Goldhaber (G.). — Study of the	
Bruno (G.). — Voir Decharge (J.)	485	high spin states in Pd104 via the	
Brissaud (I.), Bimbot (L.), Le Bornec (Y.) and	463	$Zr^{94}(C^{13}, 3 n)Pd^{104}$ reaction	C5-II-67
Tatischeff (B.). — Determination of neu-		Colombani (P.), Gatty (B.), Jacmart (J. C.),	
tron distribution radii by alpha-particle		Lefort (M.), Peter (J.), Riori (M.),	
elastic scattering	C5-III-40	Stephan (C.) et Tarrago (X.). — Recherche de noyaux composés « super-lourds » par	
Brissaud (I.). — Voir Tatischeff (B.)	C5-III-33	spectrométrie de masse en vol	C5-II-55
Buck (B.). — Voir Scott (D. K.)	C5-II-39	Colombani (P.), Jacmart (J. C.), Poffe (N.),	05 11 55
Bunaciu (T.). — Voir Bachenstoss (G.)	C5-III-43	Riou (M.), Stephan (C.), et Tys (J.).	
Bunaciu (T.). — Voir Koch (H.)	C5-III-42	Diffusion élastique de 84Kr par des	
Bunaciu (T.). — Voir Tauscher (L.)	C5-III-41	noyaux lourds	C5-II-7
Buon (J.). — Voir Bouquet (B.)	C5-III-16	Colombani (P.). — Voir Pougheon (F.)	C5-II-47
Bussière (A.). — Voir Auriol (E.)	C5-III-5	Comparat (V.). — Voir Willis (A.)	C5-III-47
Buttle (P. J. A.), Durell (J. L.), Goldfarb (L.	C3-111-3	Conjeaud (M.), Gaillard (P.), Harar (S.), Da	
J. B.), Lilley (J. S.) and Phillips (W. R.).		Silveira (E.) and Volant (C.). — The	
— A study of neutron transfer across the		¹⁶ O(¹⁴ N, ⁶ Li) ²⁴ Mg reaction	C5-II-35
coulomb barrier	C5-II-18	Conjeaud (M.), Harar (S.) et Volant (C.). —	
		The ¹⁸ O(¹² C, ¹⁰ Be) ²⁰ Ne reaction	C5-II-40
Cage (M.). — Voir Allardyce (B. W.)	C5-III-39	Cordaillat (A.). — Voir Alard (J. P.)	477
Campos Venuti (G.), Capitani (G.), Cortellessa		Cornel (J. C.). — Voir Panagiotou (A. D.)	C5-II-41
(G.), De Sanctis (E.), Farchi (G.), Frul-		Cortellesa (G.). — Voir Campos Venuti (G.).	C5-III-6
lani (S.), Giordano (R.), Salvadori (P.)		Corvi (F.), Stefanon (M.), Coceva (C.) and	
and Takamatsu (K.). — Momentum distribution of protons in calcium through		Giacobbe (P.). — Spin assignments of	
(e, e', p) reaction at 80 MeV missing		235U neutron resonances and estimate of	C5 T 10
energy	C5-III-6	$<\Gamma_f>$ for $J^{\pi}=3^-$ and 4^- levels	C5-I-18
Capitani (G.). — Voir Campos Venuti (G.)	C5-III-6	Cosper (S. W.). — Voir Harvey (B. G.)	C5-II-44
Carroll (J. B.). — Voir Igo (G.)	C5-PDL-3	Costilhes (J. P.). — Voir Alard (J. P.)	477
Cassagnou (Y.), Faraggi (H.), Morisson (G.)	C3-1DL-3	Cotton (E.). — Voir Bianchi (L.)	C5-II-46
and Papineau (A.). — Study of ¹⁶ O on		Cowley (A. A.). — Voir Tibell (G.)	C5-III-32
90Zr and of the reaction 90Zr(16O,		Cox (J.). — Voir Allardyce (B. W.)	C5-III-39
¹² C) ⁹⁴ Mo at 58 MeV	C5-II-42	Cunsolo (A.). — Voir Bonche (P.)	C5-II-48
Cassagnou (Y.), Lamehi-Rachti (M.), Levi (C.),		Cunsolo (A.), Lemaire (MC.), Mermaz (M.	
Mittig (W.) and Papineau (L.). — 16O		C.), Quebert (J. L.) and Sztark (H.). — Study of the (7Li, t) reaction on 40Ca and	
induced transfer reactions on rare earths	C5 II 42	54Fe target at low incident energy	C5-II-30
near the coulomb barrier	C5-II-43		
Castera (D.). — Voir Leccia (F.)	451	Danos (M.). — Baryon resonances in nuclei	C5-171
Chapman (R.). — Voir Mo (J. N.)	C5-II-65	Da silveira (R.). — On the mechanism of heavy	
Charles (P.), Dost (M.), Fernandez (B.) and		ion transfer reactions	C5-II-21
Gastebois (J.). — Size effects in the shap elastic scattering of heavy ions	C5-II-4	Da Silveira (E.). — Voir Conjeaud (M.)	C5-II-35
Charles (P.), Dost (M.), Fernandez (B.),	00 22	Dauchy (A.). — Voir Lambert (M.)	155
Gastebois (J.) and Lee (S. M.). — Heavy		David (P.), Debrus (J.), Kim (U.), Lübke (F.),	
ion noise	C5-II-77	Mommsen (H.), Schoenmackers (R.),	
Charles (P.). — Voir Lee (S. M.)	C5-II-36	Soyez (W.), Speidel (K. H.) and Stein (G.).	C5 T 16
Chastel (A.). — A phenomenological analysis		— High energy photonuclear reactions	C5-I-16
of proton-proton scattering from 50 to	The second section is	de Botton (N.). — Voir Argan (P.)	C5-III-13
1 000 MeV	C5-III-44	de Botton (N.). — Voir Argan (P. E.)	C5-III-21
Chastel (R.). — Voir Doan (T. P.)	C5-I-11	Debrus (J.). — Voir David (P.)	C5-I-16
Chemtob (M.), Moniz (E. J.) and Rho (M.).		Decharge (M. Y.). — Voir Decharge (J.)	485
Virtual particle effects in deuteron elec-	C5-III-22	Decharge (J.), Surget (G.), Bruno (G.) et	
Charper (I) Voir Videback (F)	C5-III-22 C5-II-5	Decharge (M. Y.). — Contribution à l'étude expérimentale de la réaction	
Cherry (R.) Voir Worgnion (C.)	941	⁷ Li(dα) ⁵ He à basse énergie	485
Chéry (R.). — Voir Marguier (G.)	301	Dehnardt (W.). — Voir Merdinger (J. C.)	C5-II-74
Chéry (R.). — Voir Marguier (G.)	301	Dehnhardt (W.). — Voir Taras (P.)	C5-II-66
Chevallier (M.), Gaillard (P.), Grossiord (J. Y.), Gusakow (M.), Pizzi (J. R.) et		Delagrange (H.), Hubert (F.) et Fleury (A.). —	
Ruhla (C.). — Comparaison des réactions		Désexcitation des noyaux composés for-	
$(\alpha, 2\alpha)$ et $(\alpha, \alpha t \text{ sur } ^{19}\text{F à } 60,2 \text{ MeV } \dots$	177	més lors des interactions 181 Ta $+$ 11 , 10 B.	C5-II-64
Christensen (P. R.). — Voir Videbaek (F.)	C5-II-5	Delorme (J.). — Voir Kubodera (K.)	C5-III-26
Chulick (E. T.). — Voir Natowitz (J. B.)	C5-II-16	Derrien (H.). — Voir Blons (J.)	C5-I-20

			CIT TIT OO
Deruytter (A. J.). — Voir Wagemans (C.)	C5-I-17	Fain (J.). — Voir Meritet (L.)	C5-III-28
De Sanctis (E.). — Voir Campos Venuti (G.)	C5-III-6	Faivre (J. C.). — Voir Harvey (B. G.)	C5-II-44
Deschamps (Y.). — Voir Tamisier (R.)	625	Falomkin (I. V.), Kulyukin (M. M.), Lyashenko (V. I.), Mihul (A.), Nichitiu (F.), Ponte-	
Detraz (C.), Zafiratos (C. D.), Rudolph (H.) and Zaidins (C. S.). — Alpha pickup in		corvo (G. B.), Piragino (G.) and Schcher-	
the A = 90 region	C5-II-45	bakov (Yu-A.). — Preliminary phase shift	
Devries (R. M.). — Recoil effects in DWBA		analysis for π He ⁴ scattering	C5-III-19
calculations for heavy ion reactions	C5-II-25	Faraggi (H.). — Allocution d'ouverture	C5-1
Devries (R.). — Voir Bachelier (D.)	C5-III-35	Faraggi (H.). — Voir Cassagnou (Y.)	C5-II-42
Devries (R. M.). — Voir Bassani (G.)	C5-II-33	Farchi (G.). — Voir Campos Venuti (G.)	C5-III-6
Dhermain (J.). — Voir Alard (J. P.)	477	Fargeix (J.). — Voir Alard (J. P.)	477
Dickmann (F.), Hara (K.) and Hofmann (H.).		Favard (J. P.), Fleury (A.), Hamon (F.), Simonoff (G. N.) et Nguyen-Long-Den.	
— Removal of the spurious state from the	O5 T 12	Evolution de la distribution des isotopes	
cranking mass formula	C5-I-13	de césium produits dans la fission de	
Didelez (J. P.), Goldman (I. D.), Hourany (E.), Nakamura (H.), Reide (F.) et Yuasa (T.).		²³⁸ U par particules alpha de moyenne	La Participan
- Reactions D(p, 2 p)n et D(p, pn) p		énergie	473
a 156 MeV	C5-III-11	Feil (M.). — Voir Bohlen (H. G.)	C5-II-23
Dietrich (K.). — Introduction to nuclear		Fernandez (B.). — Voir Charles (P.)	C5-II-4
fission	C5-3	Fernandez (B.). — Voir Charles (P.)	C5-II-77 C5-II-36
Dittner (P. F.). — Voir Hahn (R. L.)	C5-II-60	Fernandez (B.). — Voir Lee (S. M.) Feshbach (H.). — Voir Lambert (E.)	C5-III-27
Doan (T. P.), Sicre (A.), Leroux (B.) et Chas-			C5-III-27
tel (R.). — Sur les résonances au-dessus du seuil de fission de ²³² Th, ²³¹ Pa et ²³⁴ U		Fick (D.). — Voir Gelbke (C. K.) Fink (C. L.). — Voir Stronbusch (U.)	C5-II-34
par neutrons rapides	C5-I-11		C5-II-34 C5-II-41
Dost (M.). — Voir Charles (P.)	C5-II-4	Fisher (P. S.). — Voir Panagiotou (A. D.)	
Dost (M.). — Voir Charles (P.)	C5-II-77	Fisher (P. S.). — Voir Scott (D. K.)	C5-II-22 C5-II-39
Dost (M.). — Voir Lee (S. M.)	C5-II-36	Fisher (P. S.). — Voir Scott (D. K.)	C3-11-39
Doubre (H.). — Voir Pougheon (F.)	C5-II-47	Flerov (G. N.), Ter-Akopyan (G. M.), Popeko (A. G.), Skobelev (N. K.), Pereligin (V. P.)	
Dover (C. B.) and Lemmer (R. H.). — A chew-		and Otgonsuren (O.). — Some control	
low approach to pion-nucleus scattering.	C5-III-20	experiments on search for superheavy	
Dracoulis (G. D.). — Voir Mo (J. N.)	C5-II-65	elements in nature	C5-II-52
Drain (D.). — Voir Lambert (M.)	155	Fleury (A.). — Voir Delagrange (H.)	C5-II-64
Dupont (J.). — Voir Auriol (E.)	C5-III-5	Fleury (A.). — Voir Favard (J. P.)	473
Durell (J. L.). — Voir Buttle (P. J. A.)	C5-II-18	Flocard (H.), Quentin (P.) and Vautherin (D.). — Constrained Hartree-Fock cal-	
Eastham (D. A.) and Grant (I. S.). — Search for		culations of ²⁴⁰ Pu	C5-I-1
fission isomers with ¹⁴ N and alpha par-		Flocard (H.), Quentin (P.) and Vautherin	
ticle reactions	C5-I-7	(D.). — Constrained Hartree-Fock cal-	
Eberhard (K. A.). — Voir Rossner (H. H.)	C5-II-6	culations for A < 200 nuclei	C5-I-2
Egger (J.). — Voir Backenstoss (G.)	C5-III-43	Foin (C.). — Voir Barnéoud (D.)	15
Egger (J.). — Voir Koch (H.)	C5-III-42	Fong (J. C.). — Voir Igo (G.)	C5-PDL-3
Egger (J.). — Voir Tauscher (L.)	C5-III-41	Ford (J. L. C.). — Voir Milner (W. T.)	C5-II-76
Eichler (W.), Ewald (H.), Güttner, Hinckel		Foti (A.). — Voir Bassani (G.)	C5-II-3
(P.), Münzenberg (G.), Nickel (F.) and		Foti (A.). — Voir Bassani (G.)	C5-II-32
Wollnik (H.). — Plans for a two-stage separator of unslowed products of heavy		Foti (A.). — Voir Bassani (G.)	C5-II-33
ion reactions	C5-PDL-2	Frong (H.) Horrmann (C.) Frong (H.)	829
El Baz (E.), Meyer (J.), Nahabetian (R.) et	4.00	Franz (H.), Herrmann (G.), Kratz (JV.) and Kratz (K. L.). — Decay properties and	
Pigeon (J.). — Analyse DWBA des mul-		yields of short-lived fission products in the	
ti-transferts entre ions lourds	C5-II-29	50- and 82-neutron shell region in thermal-	
Ellis (P. J.). — Voir Scott (D. K.)	C5-II-39	neutron induced fission of ²³⁵ U	C5-I-29
Ericson (M.) and Rho (M.). $-\pi$ -nuclear		Frascaria (R.). — Voir Morlet (M.)	C5-III-48
scattering and violation of the chiral	C5-III-24	Frascaria (R.). — Voir Willis (A.)	C5-III-47
symmetry Erkelenz (K.). — Voir Alzetta (R.)	C5-III-24 C5-III-45	Fraser (J. S.). — Voir Milton (J. C. D.)	C5-I-15
Erkelenze (K.). — Voir Wagner (S.)	C5-III-46	Fraysse (L.). — Voir Alard (J. P.)	477
Ewald (H.). — Voir Eichler (W.)	C5-PDL-3	Frehaut (J.). — Voir Shackleton (D.)	C5-I-22
	0.100	Friedman (E.). — Voir Allardyce (B. W.)	C5-III-39
Facchini (U.) and Saetta-Menichella (E.).		Fiedrich (H.), Husken (H.) and Weiguny (A.).	
Two different mechanisms proposed for		— Pear shaped (nucleus + α) structures in light nuclei	C5-II-49
symmetric and asymmetric fissions of heavy nuclei	C5-I-9	Frishee (P. E.). — Voir Pugh (H. G.)	C5-III-34
Faessler (A.). — Voir Satpathy (L.)	C5-II-51	Frullani (S.). — Voir Campos Venuti (G.)	C5-III-6
Fain(J.). — Voir Gardes (J.)	C5-III-12	Fulbright (H. W.). — Voir Strohbusch (U.)	C5-II-34
		ton buttinustri (es)	00 11 04

Gaillard (P.). — Voir Chevallier (M.)	177	Grelaud (B.). — Voir Bouquet (B.)	C5-III-16
Gaillard (P.). — Voir Conjeaud (M.)	C5-II-35	Gross (E. E.). — Voir Videbaek	C5-III-16
Galin (J.). — Voir Basile (R.)	9	Grosse (E.). — Voir Haberkant (K.)	C5-II-24
Gamp (A.). — Voir Bohlen (H. G.)	C5-II-23	Grossetete. — Voir Blum (R.)	C5-III-14
Gardes (J.), Fain (J.), Meritet (L.) and	C3-11-23		
Querrou (M.). — Coherent dissociation		Grossiord (J. Y.). — Voir Chevallier (M.)	177
$P + {}^{3}He \rightarrow P + D + P \text{ at } 600 \text{ MeV} \dots$	C5-III-12	Grünbaum (L.) and Tomaselli (M.). — Configuration mixing effects in the study of	
Gardes (J.). — Voir Jargeaix (B.)	C5-III-29	magnetic moments for heavy nuclei	C5-II-78
Gardes (J.). — Voir Meritet (L.)	C5-III-28	Grünbaum (L.). — Voir Tomaselli (M.)	C5-III-51
Gastebois (J.). — Voir Charles (P.)	C5-II-4	Guerreau (D.). — Voir Basile (R.)	9
Gastebois (J.). — Voir Fernandez (B.)	C5-II-77	Gusakow (M.). — Voir Chevallier (M.)	177
Gastebois (J.). — Voir Lee (S. M.)	C5-II-36	Güttner (K.). — Voir Eichler (W.)	C5-PDL-2
Gatty (B.). — Voir Colombani (P.)	C5-II-55		
Gauvin (H.), Le Beyec (Y.), Lefort (M.) et		Haberkant (K.), Grosse (E.), Repnow (R.) and	
Porile (N. T.). — Caractéristiques de		Wurm (J. P.). — Doppler shift studies	
désintégration α des isotopes légers de	CE II EO	by the 90Zr(13C, 12C) 91Zr transfer reac-	CS II 24
bismuth, plomb et thallium de A < 195	C5-II-58	tion	C5-II-24
Gauvin (H.), Le Beyec (Y.) et Porile (N. T.). — Réactions par noyau composé induites		Hagelberg (R.). — Voir Backenstoss (G.)	C5-III-43
par des ions argon de grandes énergies sur		Hagelberg (R.). — Voir Tauscher (L.)	C5-III-41
des cibles de Sn, I et Cs	C5-II-56	Hahn (R. L.), Dittner (P. F.), Toth (K. S.) and Keller (O. L.). — Compound-nuclear and	
Gelbke (C. K.), Bock (R.), Bohlen (H. G.),		transfer reactions in ¹² C reactions with	
Braun-Munzingen (P.), Hildenbrand (K.		²³⁸ U and ²³⁹ Pu	C5-II-60
D.), Fick (D.), Von Oertzen (W.) and Weiss (W.). — Elastic scattering of ²⁸ Si		Hahn (R. L.). — Voir Toth (K. S.)	C5-II-57
on ²⁹ Si	C5-JI- 1	Hamon (F.). — Voir Favard (J. P.)	473
Gelbke (C. K.). — Voir Braun-Munzinger (P.)	C5-II-38	Hara (K.). — Voir Dickmann (F.)	C5-I-13
Gelbke (C. K.), Hildenbrand (K. D.), Kohl-		Harar (S.). — Voir Conjeaud (M.)	C5-II-35
meyer (B.), Schneider (W. F. W.) and		Harar (S.). — Voir Conjeaud (M.)	C5-II-40
Bock (R.). — A time-of-flight spectro-	CC Y CO	Harney (H. L.). — Voir Bachelier (D.)	C5-III-35
meter for heavy nuclei	C5-II-62	Hartley (A. J.). — Voir Mo (J. N.)	C5-II-65
Gelletly (W.). — Voir Mo (J. N.)	C5-II-65	Harvey (B. G.), Kovar (D. G.), Becchetti (F.	
Gérardin (C.). — Voir Bassani (G.)	C5-II-32	D.), Puhlhoffer (F. G.), Mahoney (J.), Faivre (J. C.), Zisman (M. S.), Sherman	
Giacobbe (P.). — Voir Corvi (F.)	C5-I-18 183	(J. D.), Mayer (B.), Miller (D. W.),	
Gil (P.). — Voir Sztark (H.)	841	Giorni (A.), Meriwether (J. R.), Cosper	
Gil (P.), Marquez (L.), Quebert (J. L.) et	041	(S. W.) and Marinescu (G. M.). — Reactions of ¹⁶ O and ¹² C ions with ²⁰⁸ Pb	C5-II-44
Sztark (H.). — Les caractéristiques du		Harvey (B. G.). — Voir Pühlhofer (F.)	C5-II-19
premier état excité du noyau 5He formé		Hasse (R. W.). — Fission, fusion and heavy	C3-11-17
par la réaction ⁷ Li(d, α) ⁵ He	315	ion scattering in the liquid-drop model	C5-I-12
Giordano (R.). — Voir Campos Venuti (G.)	C5-III-6	Hendrie (D. L.). — Voir Igo (G.)	C5-PDL-3
Giorni (A.). — Voir Harvey (B. G.)	C5-II-44	Herold (D.). — Voir Tomaselli (M.)	C5-III-51
Girard (J.). — Voir Nifenecker (H.)	C5-I-27	Herrmann (G.). — Voir Franz (H.)	C5-I-29
Girard (J.). — Voir Poitou (J.)	C5-I-26	Heunemann (D.). — Voir Specht (H. J.)	C5-I-6
Giraud (B.). — Voir Bonche (P.)	C5-II-48	Heymann (G.). — Voir Allardyce (B. W.)	C5-III-39
Giraud (B.). — Voir Bonche (P.)	C5-II-26	Hildenbrand (K. D.). — Voir Gelbke (C. K.).	C5-II-1
Giraud (B.), Hocquenghem (J. C.) and Lumbroso (A.). — A solution for the gene-		Hildenbrand (K. D.). — Voir Gelbke (C. K.).	C5-II-62
rator-coordinate model of α - α scattering.	C5-II-27	Hilf (E. R.). — Masses of nuclei far from the	
Gizon (J.). — Voir Barnéoud (D.)	15	stability line	C5-PDL-1
Goitein (M.). — Voir Igo (G.)	C5-PDL-3	Hill (L. L.) and Überall (H.). — Spectra of	
Goldberg (D. A.). — Voir Tibell (G.)	C5-III-32	neutrons emitted in muon capture	C5-III-50
Goldfarb (L. J. B.). — Voir Buttle (P. J. A.)	C5-II-18	Hinckel (P.). — Voir Eichler (W.)	C5-PDL-2
Goldman (I. D.). — Voir Didelez (J. P.)	C5-III-11	Hinderer (G.). — Voir Rossner (H. H.)	C5-II-6
Gortellessa (G.). — Voir Campos Venuti (G.)	C5-III-6	Hjorth (S. A.). — Voir Johnson (A.)	C5-II-73
Gotow (K.). — Voir Bergaw (R. W.)	C5-III-18	Hjorth (S. A.), Ryde (H.) et Skanberg (B.). — On the validity of the rotor model in the	
Grama (N.). — Voir Braun-Munzinger (P.)	C5-II-38	odd-Z nucleide 171Lu	23
Grant (I. S.). — Voir Eastham (D. A.)	C5-I-7	Hocquenghem (J. C.). — Voir Giraud (B.)	C5-II-27
Green (A. M.). — Exchange current effect in		Hofmann (H.). — Voir Dickmann (F.)	C5-I-13
the β -decay $^{42}Sc(7^+) \rightarrow ^{42}Ca(6^+)$	C5-III-23	Hofmann (D.). Voir Khan (T. A.)	C5-I-28
Greiner (W.). — Voir Müller (H.)	C5-II-12	Hofmann (H. M.). — Effects of short range	
Greiner (W.). — Voir Park (J. Y.)	C5-II-11	correlations and distortions in quasi	C5.III.7
Greiner (W.). — Voir Rafelski (J.)	C5-II-79	elastic scattering	C5-111-7

Hohlmeyer (B.). — Voir Gelbke (C. K.)	C5-II-62	Khan (T. A.), Hofmann (D.) and Horsch (F.).	
Holinde (K.). — Voir Alzetta (R.)	C5-III-45	— Prompt electrons from neutron indu-	C5-I-28
Holmgren (H. D.). — Voir Pugh (H. G.)	C5-III-34	ced fission of U-235	
Homeyer (H.). — Voir Braun-Munzinger (P.)	C5-II-38	Kim (U.). — Voir David (P.).	C5-I-16
Horoshko (R. N.). — Voir Strohbusch (U.)	C5-II-34	Kistner (O.). — Voir Cochavi (S.)	C5-II-67
Horsch (F.). — Voir Khan (T. A.)	C5-I-28	Klapdor (H. V.) and Reiss (H.). — Excitation of rotational bands in ²⁴ Mg by 12-nucleon	
Hourany (E.). — Voir Didelez (J. P.)	C5-III-11	transfer	C5-II-75
Hubert (F.). — Voir Delagrange (H.)	C5-II-64	Klapisch (R.), Poskanzer (A. M.), Prieels (R.),	
Hubert (Ph.). — Voir Leccia (F.)	451	Roekl (E.), Rigaud (C.) and Thibault (C.).	
Hudson (P. N.). — Voir Panagiotou (A. D.).	C5-II-41	- Production of new-neutron righ light	
Hudson (P. N.) Voir Scott (D. K.)	C5-II-22	nuclei in high energy reactions	C5-III-53
Hudson (P. N.). — Voir Scott (D. K.)	C5-II-39	Knitter (HH.) and Islam (M. M.). — Prompt	
Hultberg (S.). — Voir Koch (H.)	C5-III-42	fission neutron energy spectrum of 235-U at $E_N = 0.4 \text{ MeV}$	C5-I-31
Hultberg (S.). — Voir Tauscher (L.)	C5-III-41	Koch (H.). — Voir Backenstoss (G.)	C5-III-43
Hüsken (H.). — Voir Friedrich (H.)	C5-II-49	The second property of the second	05 111 45
		Koch (H.), Backenstoss (G.), Bamberger (A.), Bergström (I.), Bounin (P.), Bunaciu (T.),	
Igo (G.), Fong (J. C.), Verbeck (S. L.), Goi-		Egger (J.), Hultberg (S.), Lynen (U.),	
tein (M.), Hendrie (D. L.), Carroll (J. B.), Mcdonald (B.), Stetz (A.), Perez-Mendez		Ritter (H.) and Schwitter (A.). — Strong	
(V.) and Makino (M. L.). — Large angle		interaction effects in kaonic atoms	C5-III-42
elastic scattering of deuterons from hydro-		Koch (H.). — Voir Tauscher (L.)	C5-III-41
gen: and the D-state probability P_d	C5-PDL-3	Kohlmeyer (B.). — Voir Bohlen (H. G.)	C5-II-23
Ildenbrand (K. D.). — Voir Gelbke (C. K.)	C5-II-62	Kohlmeyer (B.). — Voir Gelbke (C. K.)	C5-II-62
Inamura (T.), Tendow (Y.) and Odera (M.).		Konecny (E.). — Voir Specht (H. J.)	C5-I-6
The level structures of light even stron-		Kovar (D. G.). — Voir Harvey (B. G.)	C5-II-44
tium isotopes produced by 70,72,74,76Ge	CE II CO	Kovar (D. G.). — Voir Pühlhofer (F.)	C5-II-19
(12C, 4n) reactions	C5-IJ-69	Kubodera (K.), Delorme (J.) and Rho (M.). —	
Inoue (I.). — Voir Von Oertzen (W.)	C5-II-17	The second class current problem : role of	CE III 26
Islam (M. M.). — Voir Knitter (HH.)	C5-I-31	meson exchanges	C5-III-26
Izumo (K.). — Sequential reaction processes in nuclear fission	C5-I-8	Kulyerkin (M. M.). — Voir Falomkin (I. V.)	C5-III-19
m nuclear hission	C3-1-8	Kümmel (H.). — Electromagnetic tests of high momentum components in nuclear wave	
Jackson (D. F.) Voir Allardyce (B. W.)	C5-III-39	functions	C5-III-9
Jacmart (J. C.). — Voir Colombani (P.)	C5-II-7	Kratz (KL.). — Voir Franz (H.)	C5-I-29
Jacmart (J. C.). — Voir Colombani (P.)	C5-II-55	Kratz (J. V.). — Voir Franz (H.)	C5-I-29
Jaia (A. K.) and Sarma (N.). — Calculations		Krumlinde (J.). — Nuclear band structure in	
on the ⁷ Li(p, pt) ⁴ He reaction	C5-III-4	the vicinity of the yrast line	C5-II-63
Jargeaix (B.), Lefort (A.), Gardes (J.),			
Meritet (L.), Pauty (J. F.), Querrou (M.),		Laget (JM.). — Voir Argan (P.)	C5-III-13
Peynet (G.) and Vazeille (F.). — Coulomb nuclear interference in p-d elastic scatte-		Laget (JM.). — Voir Argan (P. E.)	C5-III-21
ring at 600 MeV	C5-III-29	Lagrange (J. M.). — Voir Albouy (G.)	C5-II-71
Jastrzebski (J.). — Effect of the N = 108		Lagrange (J. M.). — Voir Albouy (G.)	C5-II-70
« deformed shell » on nuclear properties	C5-II-72	Lagrange (J. M.). — Voir Albouy (G.)	835
Johnson (R.). — Voir Bercaw (R. W.)	C5-III-18	Lambert (E.) and Feshbach (H.). — On high-	
Johnson (R. C.) and Martin (D. C.) Non-		energy elastic scattering of protons by	C5-III-27
locality of pauli correlation effects in the		nuclei	C3-111-21
medium-energy nucleon optical for ¹² C	CE III 20	Lambert (M.), Midy (P.), Drain (D.), Amiel (M.), Beaumevieille (H.), Dauchy (A.) et	
and 160	C5-III-30	Meynadier (C.). — Etude des états exci-	
Johnson (A.), Ryde (H.), Hjorth (S. A.) and Barnéoud (D.). — Experimental evi-		tés du ²¹ Na	155
dences for phase transitions in atomic		Lamehi-Rachti (M.). — Voir Cassagnou (Y.).	C5-II-43
nuclei	C5-II-73	Le Bars (M.). — Voir Shackleton (D.)	C5-I-22
Jourdain (J. C.). — Voir Bachelier (D.)	C5-III-3	Le Beyec (Y.). — Voir Gauvin (H.)	C5-II-56
Jourdain (J. C.). — Voir Bachelier (D.)	C5-III-15	Le Beyec (Y.). — Voir Gauvin (H.)	C5-II-58
Jourdain (J. C.) Voir Bachelier (D.)	C5-III-35	Le Bornec (Y.). — Voir Brissaud (I.)	C5-III-40
Jungerman (J.). — Voir Bouchez (R.)	C5-III-10	Le Bornec (Y.). — Voir Tatischeff (B.)	C5-III-33
W. Company		Leccia (F.), Aléonard (M. M.), Castera (D.),	
Kaiser (R.), Massue (J. P.), Pfohl (R.) et		Hubert (Ph.) et Mennrath (P.). — Etude	
Schmitt (R.). — Etude des interactions d'ions ¹⁶ O de 250 MeV/nucléon	C5-III-54	des résonances de la réaction ${}^{31}P(p, \gamma){}^{32}S$ dans le domaine d'énergie $E_p = 1100$ -	
Kammuri (T.). — Voir Lee (S. M.)	C5-III-34	dans te domaine d'energie $E_p = 1100^{\circ}$ 1600 keV	451
Keller (O. L.). — Voir Hahn (R. L.)	C5-II-60	Le Chalony (Y.). — Voir Viano (J. B.)	C5-II-37
Kerns (R.). — Voir Bergaw (R. W.)	C5-III-18	Leconte (Ph.). — Voir Phan-Xuan Ho	C5-III-49

Lee (S. M.). — Voir Charles (P.)	C5-II-77	Martin (D. C.). — Voir Johnson (R. C.)	C5-III-30
Lee (S. M.), Charles (P.), Dost (M.), Fer-		Martin (P.). — Voir Viano (J. B.)	C5-II-37
nandez (B.), Gastebois (J.) and Kammuri		Marty (N.). — Voir Willis (A.)	C5-III-47
(T.). — Study of the (6Li. 6He) reaction	CE II 26	Marty (N.). — Voir Morlet (M.)	C5-III-48
on the Boron isotopes	C5-II-36	Massue (J. P.). — Voir Kaiser (R.)	C5-III-54
Lefèvre (M.). — Voir Auriol (E.)	C5-III-5	Matuszek (J.). — Voir Nifenecker (H.)	C5-II-27
Lefort (M.). — Nuclides far off stability line			
and super-heavy nuclei in heavy ion	11 1	Mayer (B.). — Voir Harvey (B. G.)	C5-II-44
nuclear reactions	C5-73	Mayer (B.). — Voir Pühlhofer (F.)	C5-II-19
Lefort (M.). — Voir Basile (R.)	9	McDonald (B.). — Voir Igo (G.)	C5-PDL-3
Lefort (M.). — Voir Colombani (P.)	C5-II-55	McGill (W.). — Voir Blum (D.)	C5-III-14
Lefort (M.). — Voir Gauvin (H.)	C5-II-58	McGowan (F. K.). — Voir Milner (W. T.)	C5-II-76
Lefort (A.). — Voir Jargeaix (B.)	C5-III-29	McKeown (M.). — Voir Cochavi (S.)	C5-II-67
Lefort (M.). — Voir Tamain (B.)	C5-II-14	Mehta (M. K.) and Saini (S. S.). — Optical	
Lehmann (J.), Vanuffelen (M.) et Vervier (J.).		model fits to the elastic scattering cross	
— Schéma de désexcitation de ⁷⁸ Br	465	sections for ²⁸ Si on ²⁸ Si	C5-II-2
Lemaire (M. C.). — Voir Bonche (P.)	C5-II-48	Menchaca-Rocha (A.). — Voir Panogiotou	
Lemaire (MC.). — Voir Cunsolo (A.)	C5-II-30	(A. D.)	C5-II-41
Lemarchand (G.). — Voir Auriol (E.)	C5-III-5	Mennrath (P.). — Voir Leccia (F.)	451
Lemmer (R. H.). — Voir Dover (C. B.)	C5-III-20	Merdinger (J. C.) and Dehnardt (W.). —	
Leroux (B.). — Voir Doan (T. P.)	C5-I-11	Recoil-distance lifetime measurements of	
		some high spin states in ³⁵ Cl, ³⁸ Ar and	OF II 74
Letessier (J.). — Voir Berg (U.)	829	³⁹ K	C5-II-74
Levi (C.). — Voir Cassagnou (Y.)	C5-II-43	Merdinger (J.). — Voir Taras (P.)	C5-II-66
Lilley (J. S.). — Voir Buttle (P. J. A.)	C5-II-18	Meritet (L.), Fain (J.), Gardes (J.), Querrou	
Limkilde (P.) and Sletten (G.). — Subnano-		(M.), Pauty (J. F.), Peynet (G.) and	
second and nanosecond double fission	100000000000000000000000000000000000000	Vazeille (F.). — p-3He and p-3H elastic diffusion at 600 MeV	C5-III-28
isomer in the even-even ²³⁸ Pu	C5-I-5	Meritet (L.). — Voir Gardes (J.)	C5-III-12
Lipperheide (R.) and Wille (U.). — Quasi-free	23010		
scattering to unbound states	C5-III-1	Meritet (L.). — Voir Jargeaix (B.)	C5-III-29
Loiseaux (J. M.). — Voir Viano (J. B.)	C5-II-37	Meriwether (J. R.). — Voir Harvey (B. G.)	C5-II-44
Lombard (R. J.) and Auger (J. P.) Nucleon		Mermaz (M. C.). — Voir Bonche (P.)	C5-II-48
distributions in nuclei high energy pro-		Mermaz (M. C.). — Voir Cunsolo (A.)	C5-II-30
cesses	C5-III-38	Meyer (J.). — Voir El Baz (E.)	C5-II-29
Lübke (F.). — Voir David (P.)	C5-I-16	Meynadier (C.). — Voir Lambert (M.)	155
Lucas (B.). — Voir Tronchon (J.)	C5-I-21	Michaudon (A.). — Voir Blons (J.)	C5-I-20
Lumbroso (A.). — Voir Giraud (B.)	C5-II-27	Michaudon (A.). — Voir Plattard (S.)	C5-I-19
Lyashenko (V. I.). — Voir Falomkin (I. V.) .	C5-III-19	Michaudon (A.). — Voir Trochon (J.)	C5-I-21
Lynen (U.). — Voir Backenstoss (G.)	C5-III-43	Midy (P.). — Voir Lambert (M.)	155
Lynen (U.). — Voir Koch (H.)	C5-III-42	Mihul (A.). — Voir Falomkin (I. V.)	C5-III-19
Lynon (C.), Von Roch (II.)	05 111 12	Millaud (J.). — Voir Auriol (E.)	C5-III-5
Macfarlane (R. D.), Torgerson (D. F.) and			C5-II-44
Pape (A.). — Alpha-recoil spectroscopy		Miller (D. W.). — Voir Harvey (B. G.)	
of heavy-ion reaction products	C5-II-59	Mills (S. J.). — Voir Taras (P.)	C5-II-66
Maison (J.). — Voir Bimbot (R.)	C5-II-20	Milner (W. T.), Mcgowan (F. K.), Bemis (C.	
Mahoney (J.). — Voir Harvey (B. G.)	C5-II-44	E.), Ford (J. L. C.), Robinson (R. L.) and Stelson (P. H.). — Equilibrium qua-	
Mahoney (J.). — Voir Pühlhofer (F.)	C5-II-19	drupole and hexadecapole deformations	
		in actinide nuclei	C5-II-76
Makino (M. L.). — Voir Igo (G.)	C5-PDL-3	Milton (J. C. D.), Fraser (J. S.) and Specht	
Malecki (A.). — Voir Bleszynski (M.)	C5-III-2	(H. J.). — The variation in fragment	
Marguier (G.) et Chéry (R.). — Etude des		total kinetic energy with excitation energy	
niveaux de parite positive de spin, 1/2,	941	in fission of ²⁴⁰ Pu induced by the ²³⁹ Pu	
3/2 et 5/2 du ¹⁶⁵ Er	941	(d, pf) reaction	C5-I-15
Marguier (G.) et Chéry (R.). — Contribution		Minehart (R.). — Voir Bercaw (R. W.)	C5-III-18
à l'étude des niveaux ¹⁶⁵ Er excités par	301	Mittig (W.). — Voir Cassagnou (Y.)	C5-II-43
désintégration du ¹⁶⁵ Tm		Mo (J. N.), Chapman (R.), Dracoulis (G. D.),	
Marinescu (G. M.). — Voir Harvey (B. G.)	C5-II-44	Gelletly (W.) and Hartley (A. J.). — A study of the ground state rotational bands	
Markham (R.). — Voir Strohbusch (U.)	C5-II-34	of ^{168,170,172} Yb, by (Hi, xn) reactions	C5-II-65
Marquardt (N.). — Voir Bohlen (H. G.)	C5-II-23	Mokler (P. H.). — Voir Armbruster (P.)	C5-II-61
Marquardt (N.). — Voir Von Oertzen (W.)	C5-II-17	Mommsen (H.). — Voir David (P.)	C5-I-16
Marquez (L.). — Voir Gil (P.)	315	Moniz (E. J.). — Voir Chemtob (M.)	C5-III-22
Marquez (L.). — Voir Sztark (H.)	841	Morinaga (H.). — Direct vs. Compound pro-	N. I. Committee
Martin (J.). — Voir Argan (P.)	C5-III-13	cesses production and de-excitation of	
Martin (J.). — Voir Argan (P. E.)	C5-III-21	high angular momentum states	C5-103

Morisson (G.). — Voir Cassagnou (Y.)	C5-II-42	Park (J. Y.), Sheid (W.) and Greiner (W.). —	
Morlet (M.), Frascaria (R.), Marty (N.) et		Effects of antisymmetrization on heavy- ion potentials	C5-II-11
Willis (A.). — Reaction D(p, 2 p) n à 155 MeV pour de grands transferts de		Pautrat (M.). — Voir Albouy (G.)	835
moments, et interaction nucleon-nucleon		Pautrat (M.). — Voir Albouy (G.)	C5-II-71
hors couche d'énergie	C5-III-48	Pautrat (M.). — Voir Albouy (G.)	C5-II-71
Morlet (M.). — Voir Willis (A.)	C5-III-47	Pauty (J. F.). — Voir Jargeaix (B.)	C5-III-29
Morrison (G. C.). — Nuclear structure with		Pauty (J. F.). — Voir Meritet (L.)	C5-III-28
heavy-ion transfer reactions	C5-111		C5-III-28
Mougey (J.). — Voir Auriol (E.)	C5-III-5	Paya (D.). — Voir Plattard (S.)	C5-I-19
Müller (B.). — Voir Rafelski (J.)	C5-II-79	Pereligin (U. P.). — Voir Flerov (G. N.)	C5-PDL-3
Müller (H.), Scheid (W.) and Greiner (W.). —		Perez-Mendez (V.). — Voir Igo (G.)	C5-FDL-5
Compression effects in the heavy-ion	CC 11 10	Peter (J.). — Voir Colombani (P.)	C5-II-33
potentials	C5-II-12	Peter (J.). — Voir Tamain (B.)	
Münzenberg (G.). — Voir Eichler (W.)	C5-PDL-2	Petroff (P.). — Voir Bouquet (B.)	C5-III-16
Murugesu (S.). — Voir Allardyce (B. W.)	C5-III-39	Peynet (G.). — Voir Jargeaix (B.)	C5-III-29
Nahabetian (R.). — Voir El Baz (E.)	C5-II-29	Peynet (G.). — Voir Meritet (L.)	C5-III-28
Nakamura (H.). — Voir Didelez (J. P.)	C5-III-11	Phon Year How Win Amin (E.)	C5-III-54
Narboni (Ph.). — Diffusion multiple de pro-		Phan Xuan Ho. — Voir Auriol (E.)	C5-III-5
tons de 156,5 MeV sur la masse A = 3	C5-III-36	Phan Xuan Ho, Bellicard (J. B.), Leconte (Ph.) et Sick (I.). — Etude des états collectifs	
Natowitz (J. B.) and Chulick (E. T.). — Limits		des noyaux pair-pairs à une couche	
to the formation of compound nuclei in		complète par diffusion d'électrons	C5-III-49
heavy ion induced reactions	C5-II-16	Phillips (W. R.). — Voir Buttle (P. J. A.)	C5-II-18
Neumann (U.). — Voir Taras (P.)	C5-II-66	Piepenbring (R.). — Voir Thomann (J.)	613
Ngo (C.). — Voir Tamain (B.)	C5-II-14	Pigeon (J.). — Voir El-Baz (E.)	C5-II-29
Nguyen-Long-Den. — Voir Favard (J. P.)	473	Piragino (G.). — Voir Falomkin (I. V.)	C5-III-19
Nguyen Ngoc (H.). — Voir Blum (D.)	C5-III-14	Pizzi (J. R.). — Voir Chevallier (M.)	177
Nguyen Ngoc (H.). — Voir Bouquet (B.)	C5-III-16	Plasil (F.). — Predictions for heavy ion reac-	
Nichitiu (F.). — Voir Falomkin (I. V.)	C5-III-19	tions based on the rotating liquid drop	
Nickel (F.). — Voir Eichler (W.)	C5-PDL-2	model	C5-II-15
Nifenecker (H.), Babinet (R.) and Signarbieux		Plattard (S.), Michaudon (A.) et Paya (D.). —	
(C.). — Experimental study of the poten-		Structure intermédiaire dans la section	C5 I 10
tial energy surface for the scission confi- gurations	C5-I-24	efficace de fission de ²³⁷ Np	C5-II-70
Nisenecker (H.), Girard (J.), Matuszek (J.)	0012.	Poffe (N.). — Voir Albouy (G.).	C5-II-70
and Ribrag (M.). — Even odd effects in		Poffe (N.). — Voir Colombani (P.) Poitou (J.), Girard (J.), Nifenecker (H.) and	C3-11-/
the prompt de-excitation process of the		Signarbieux (C.). — Detailed investiga-	
fission fragments of ²⁵² Cf	C5-I-27	tion on prompt neutron number distribu-	
Nifenecker (H.). — Voir Poitou (J.)	C5-I-26	tion as a function of fragment charge in	
Nifenecker (H.). — Voir Signarbieux (C.)	C5-I-23	the spontaneous binary and ternary	00.7.00
Nörenberg (W.). — One-particle motion in		fission ²⁵² Cf	C5-I-26
guide potentials and analogies to the collective motion of nuclei	C5-I-10	Poitou (J.). — Voir Signarbieux (C.)	C5-I-23
Nörenberg (W.). — S-matrix formulation,	C3-1-10	Pontecorvo (G. B.). — Voir Falomkin (I. V.).	C5-III-19
dynamics and models of the fission pro-		Popeko (A. G.). — Voir Flerov (G. N.)	C5-II-52
cess	C5-I-14	Porile (N. T.). — Voir Gauvin (H.)	C5-II-56
	Mary State of the	Porile (N. T.). — Voir Gauvin (H.)	C5-II-58
Odera (M.). — Voir Inamura (T.)	C5-II-69	Poskanzer (A. M.). — Voir Klapisch (R.)	C5-III-53
Otgonsuren (O.). — Voir Flerov (G. N.)	C5-II-52	Povel (H.). — Voir Tauscher (L.)	C5-III-41
Panagiotou (A. D.) Voir Scott (D. K.)	C5-II-22	Povh (B.). — Voir Taras (P.)	C5-II-66
Panagiotou (A. D.). — Voir Scott (D. K.)	C5-II-39	Pougheon (F.), Roussel (P.), Colombani (P.),	
Panagiotou (A. D.), Scott (D. K.), Fisher (P.	00 12 07	Doubre (H.) et Roynette (J. C.). — Réactions de stripping de deux nucléons	
S.), Hudson (P. N.), Anyas-Weiss (N.),		sur le 54Fe et le 58Ni à l'aide d'un fais-	
Cornell (J. C.) and Menchaca-Rocha		ceau de 16O de 80 MeV	C5-II-47
(A.). — Alpha-transfer reactions initia-		Price (R.). — Voir Tauscher (L.)	C5-III-41
ted by heavy ions spin determinations in residual nuclei	C5-II-41	Prieels (R.). — Voir Klapisch (R.)	C5-III-53
Pape (A.). — Voir Macfarlane (R. D.)	C5-II-59	Priou (M.). — Voir Auriol (E.)	C5-III-5
Papineau (A.). — Voir Bianchi (L.)	C5-II-39	Prüsz (K.). — A microscopic theory for the	
Papineau (A.). — Voir Cassagnou (Y.)	C5-II-42	elastic interaction of complex nuclei	C5-II-10
Papineau (L.). — Voir Cassagnou (Y.).	C5-II-43	Pugh (H. G.), Frisbee (P. E.) and Holmgren	
Pappalardo (G.). — Voir Bassani (G.)	C5-II-33	(H. D.). — Exchange effects in the	
Pappalardo (G.). — Voir Bassani (G.)	C5-II-3	elastic scattering of 140 MeV alpha par- ticles by He ³	C5-III-34
			1

Pugh (H. G.). — Voir Tibell (G.)	C5-III-32	Direct (M. E.) Weig Direct (D.)	CE II 20
Pühlhoffer (F. G.). — Voir Harvey (B. G.)	C5-III-32	Rivet (M. F.). — Voir Bimbot (R.)	C5-II-20
Pühlhofer (F.), Kovar (D. G.), Harvey (B. G.),	C3-11-44	Robinson (R. L.). — Voir Stelson (P. H.) Roche (G.). — Voir Alard (J. P.)	C5-II-76
Becchetti (F. D.), Mahoney (J.), Mayer		Roeckl (E.). — Voir Klapisch (R.)	477 C5-III-53
(B.), Sherman (J. D.) and Zisman (M. S.).		Rosier (L. H.). — Voir Tamisier (R.)	625
— A study of transfer reactions induced		Rossner (H. H.), Hinderer (G.), Weidinger	623
by 150 MeV ²⁰ Ne on ²⁷ Al	C5-II-19	(A.), Eberhard (K. A.). — Angular mo-	
Pyle (G. J.). — Voir Allardyce (B. W.)	C5-III-39	mentum effects for 16O + 16O scattering	
Quebert (J. L.). — Voir Bonche (P.)	C5-II-48	studied via the reaction channels	C5-II-6
Quebert (J. L.). — Voir Cunsolo (A.)	C5-II-30	Rouben (B.) et Saunier (G.). — Etude de	
Quebert (J. L.). — Voir Gil (P.)	315	noyaux super-lourds par la méthode de Hartree-Fock	C5-II-53
Quebert (J. L.). — Voir Sztark (H.)	841	Roulet (C.). — Voir Albouy (G.)	835
Quentin (P.). — Skyrme's interaction in the	041	Roulet (C.). — Voir Albouy (G.)	C5-II-70
asymptotic basis	457	Roulet (C.). — Voir Albouy (G.)	C5-II-71
Quentin (P.). — Voir Flochard	C5-I-1	Roussel (P.). — Voir Pougheon (F.)	C5-II-47
Quentin (P.). — Voir Flocard (H.)	C5-I-2	Royer (D.). — Voir Auriol (E.)	C5-III-5
Querrou (M.). — Voir Gardes (J.)	C5-III-12	Roynette (J. C.). — Voir Pougheon (F.)	C5-II-47
Ouerrou (M.). — Voir Jargeaix (B.)	C5-III-29	Roy-Stephan (M.). — Voir Bachelier (D.)	C5-III-35
Querrou (M.). — Voir Meritet (L.)	C5-III-28	Rudolph (H.). — Voir Detraz (C.)	C5-II-45
		Ruhla (C.). — Voir Chevallier (M.)	177
Radvanyi (P.). — Quasi-free scattering on		Ryde (H.). — Voir Hjorth (S. A.)	23- C5-II-73-
nucleons and nuclear fragments	C5-141		C5-II-75
Radvanyi (P.). — Voir Bachelier (D.)	C5-III-3	Saetta-Memichella (E.). — Voir Facchini (U.)	C5-I-9
Radvanyi (P.). — Voir Bachelier (D.)	C5-III-15	Saini (S. S.). — Voir Mehta (M. K.)	C5-II-2
Radvanyi (P.). — Voir Bachelier (D.)	C5-III-35	Sakai (M.). — Particle and hole symmetry in	
Rafelski (J.), Müller (B.) and Greiner (W.).		collective excitation of medium nuclei with $Z \approx 50 \dots$	C5-II-50
Electronic effects of strong external fields in heavy ion collisions	C5-II-78	Salvadori (P.). — Voir Campos Venuti (G.)	C5-III-6
Rajaratnam (V.). — Voir Allardyce (B. W.).	C5-III-39	Sarma (N.). — Voir Jain (A. K.)	C5-III-4
Ramstein (B.). — Voir Tamissier (R.)	625	Satpathy (L.), Schmid (K. W.), Faessler (A.).	C3-111-4
Raynal (J.). — Sur l'influence de l'interaction		Intrashell quartet states in light nuclei	C5-II-51
spin orbite à haute énergie	C5-III-31	Saunier (N.). — Voir Bassani (G.)	C5-II-3
Raynal (J.). — Voir Bassani (G.)	C5-II-3	Saunier (N.). — Voir Bassani (G.)	C5-II-32
Reichart (W.). — Voir Tibell (G.)	C5-III-32	Saunier (N.). — Voir Bassani (G.)	C5-II-33
Reid (J. M.) and Shotter (A. C.). — Electro-		Saunier (G.). — Voir Rouben (B.)	C5-II-53
fission below 100 MeV electron energy	C5-I-25	Scharff-Goldhaber (G.). — Angular momen-	
Reide (F.). — Voir Didelez (J. P.)	C5-III-11	tum boundary of the VMI law	C5-II-68
Reidemeister (G.). — Interaction nucléaire entre deux noyaux ¹² C	C5-II-13	Scharff-Goldhaber (G.). — Voir Cochavi (S.).	C5-II-67
·	C5-II-75	Scheck (F.). — Hadronic atoms	C5-183
Reiss (H.). — Voir Klapdor (H. V.) Repnow (R.). — Voir Haberkant (K.)	C5-II-73	Scheid (W.). — Voir Müller (H.)	C5-II-12
Révai (J.). — Three-body treatment of the	C3-11-24	Scheid (W.). — Voir Park (J. Y.)	C5-II-11
binding effects in multiple scattering theory	C5-III-37	Schmelzer (Ch.). — Heavy ion accelerators of	CE 105
-Rho (M.). — Low energy pions in nuclear		the future	C5-195
physics	C5-155	Schmid (K. W.). — Voir Satpathy (L.)	C5-II-51
Rho (M.). — Voir Chemtob (M.)	C5-III-22	Schmitt (R.). — Voir Kaiser (R.) Schneider (W. F. W.). — Voir Gelbke (C. K.)	C5-III-54 C5-II-62
Rho (M.). — Voir Ericson (M.)	C5-III-24		C5-II-80
Rho (M.). — Voir Kubodera (K.)	C5-III-26	Schoenmackers (R.). — Voir Betz (H. D.) Schoenmackers (R.). — Voir David (P.)	C5-II-80 C5-I-16
Rho (M.). — Voir Shuster (M. D.)	C5-III-25	Schuhl (C.). — Voir Argan (P.)	C5-III-13
Ribrag (M.). — Voir Nifenecker (H.)	C5-I-27	Schuhl (C.). — Voir Argan (P. E.)	C5-III-13
Ribrag (M.). — Voir Signarbieux (C.)	C5-I-23	Schultheis (H.). — Voir Schultheis (R.)	C5-I-3
Ridinger (E.). — Voir Braun-Munzinger (P.).	С5-П-38	Schultheis (R.) and Schultheis (H.). — Semi-	0313
Rigaud (C.). — Voir Klapisch (R.)	C5-III-53	empirical shell correction in the fission of	
Rihan (T. H.) and Zohni (O.). — Triangle		heavy and superheavy nuclei	C5-I-3
graph mechanism in the ⁹ Be(⁶ Li, t) ¹² C reaction	C5-II-31	Schwitter (A.). — Voir Backenstoss (G.)	C5-III-43
Rimbert (J. N.). — Voir Albouy (G.)	835	Schwitter (A.). — Voir Koch (H.)	C5-III-42
Riou (M.). — Voir Colombani (P.)	C5-II-7	Schwitter (A.). — Voir Tauscher (L.)	C5-III-41
Riou (M.). — Voir Colombani (P.)	C5-II-55	Scott (D. K.), Hudson (P. N.), Fisher (P. S.),	
Riskalla (R.). — Voir Bouquet (B.)	C5-III-16	Anyas-Weiss (N.), Panagiotou (A. D.) and Brink (D. M.). — Heavy ion transfer	
Ritter (H.). — Voir Backenstoss (G.)	C5-III-43	reactions on ²⁰⁸ Pb at energies well above	
Ritter (H.). — Voir Koch (H.)	C5-III-42	the coulomb barrier	C5-II-22
and the state of t			

way on the training of training of the training of the training of training of the training of training of tra		Talamatan (V.) Vair Compan Vanuti (C.)	CS III 4
Scott (D. K.), Hudson (P. N.), Fisher (P. S.), Anyas-Weiss (N.), Panagiotou (A. D.),		Takamatsu (K.). — Voir Campos Venuti (G.).	C5-III-6
Ellis (P. J.) and Buck (B.). — Super-		Tamain (JC.). — Voir Alard (J. P.)	477
selectivity in heavy ion transfer reactions.	C5-II-39	Tamain (B.), Lefort (M.), Ngo (C.) et Peter	
Scott (D. K.). — Voir Panagiotou (A. D.)	C5-II-41	(J.). — Conditions de formation de	
Sergolle (H.). — Voir Albouy (G.)	C5-II-70	noyaux composés super-lourds avec un faisceau de Krypton	C5-II-14
Sergolle (H.). — Voir Albouy (G.)	C5-II-71	Tamas (G.). — Voir Argan (P.)	C5-III-13
Sergolle (H.). — Voir Albouy (G.)	835		
Shackelton (D.), Frehaut (J.) and Le Bars		Tamas (G.). — Voir Argan (P. E.)	C5-III-21
(M.). — Variations in prompt neutron		Tamisier (R.), Ardouin (D.), Ramstein (B.), Deschamps (Y.), Rosier (L. H.) et Avi-	
and gamma ray yields in resonance neutron-induced fission of plutonium-239.	C5-I-22	gnon (P.). — Niveaux du ¹⁹ F peuplés au	
Sheherbakov (Yu. A.). — Voir Falomkin (I. V.)	C5-III-19	cours de la réaction ¹⁸ O(d, n) ¹⁹ F à	
Sherman (J. D.). — Voir Harvey (B. G.)	C5-II-44	4 MeV	625
Sherman (J. D.). — Voir Pühlhofer (F.)	C5-II-19	Tamura (T.) and Wolter (H. H.). — Quantum	
Shotter (A. C.). — Voir Reid (J. M.)	C5-I-25	mechanical treatment of direct reactions	C
Shuster (M. D.) and Rho (M.). — Isotensor		between heavy-ions	C5-II-28
muon capture in nuclei	C5-III-25	Taras (P.), Dehnhardt (W.), Mills (S. J.),	
Sick (I.). — Voir Auriol (E.)	C5-III-5	Merdinger (J.), Neumann (U.), Veggian (M.) and Povh (B.). — Level properties	
Sick (I.). — Voir Phan Xuan Ho	C5-III-49	in the even-even ^{130,132,134} Ce-further	
Sicre (A.). — Voir Doan (T. P.)	C5-I-11	evidence for the back-bending effect	C5-II-66
Signarbieux (C.), Nifenecker (H.), Poitou (J.)		Tarrago (X.). — Voir Basile (R.)	9
and Ribrag (M.). — New results on the		Tarrago (X.). — Voir Colombani (P.)	C5-II-55
prompt neutron emission by the individual fission fragments of ²⁵² Cf	C5-I-23	Tatischeff (B.), Brissaud (I.), Le Bornec (Y.)	00 11 00
Signarbieux (C.). — Voir Nifenecker (H.)	C5-I-24	and Willis (N.). — High energy alpha	
Signarbieux (C.). — Voir Poitou (J.)	C5-I-26	and helium inelastic scattering	C5-III-33
Simonoff (G. N.). — Voir Favard (J. P.)	473	Tatischeff (B.). — Voir Brissaud (I.)	C5-III-40
Skånberg (B.). — Voir Hjorth (S. A.)	23	Tauscher (L.), Backenstoss (G.), Bergström	
Skobelev (N. K.). — Voir Flerov (G. N.)	C5-II-52	(I.), Bunaciu (T.), Egger (J.), Hultberg	
Sletten (G.). — Voir Limkilde (P.)	C5-I-5	(S.), Hagelberg (R.), Koch (H.), Povel	
Smith (S. M.). — Voir Tibell (G.)	C5-III-32	(H.), Price (R.) and Schwitter (A.).	CE TIL 41
Soyez (W.). — Voir David (P.)	C5-II-32	New results from pronic atoms	C5-III-41
Specht (H. J.), Konecny (E.), Heunemann (D.)	C5-1-10	Tauscher (L.). — Voir Backenstoss (G.)	C5-III-43
and Weber (J.). — Identification of a		Tchapoutian (R.). — Voir Bouquet (B.)	C5-III-16
rotational band in the 240 mPu fission		Tendow (Y.). — Voir Inamura (T.)	C5-II-69
isomer	C5-I-6	Ter-Akopyan (G. M.). — Voir Flerov (G. N.)	C5-II-52
Specht (H. J.). — Voir Milton (J. C. D.)	C5-I-15	Theobald (J. P.). — Voir Weigmann (H.)	C5-I-4
Speidel (K. H.). — Voir David (P.)	C5-I-16	Thevenet (B.) et Vienet (R.). — Une nouvelle	
Squier (G. T. A.). — Voir Allardyce (B. W.).	C5-III-39	machine pour la physique nucléaire à	
Srinivasa Rao (K.). — Photoproduction of		énergie intermédiaire : le synchrotron saturne de 3 GeV	CS III SS
charged pions from ¹⁶ O in the saxon-woods basis	C5-III-17		C5-III-55
Stark (H.). — Voir Gil (P.)	315	Thibault (C.). — Voir Klapisch (R.)	C5-III-53
Stein (G.). — Voir David (P.)	C5-I-16	Thomann (J.) et Piepenbring (R.). — Une des-	
Stein (H. J.). — Voir Armbruster (P.)	C5-II-61	cription cohérente des noyaux déformés à l'aide d'une méthode de moindres	
Stelson (P. H.). — Voir Milner (W. T.)	C5-II-76	carrés non linéaire appliquée à l'inversion	
Stephan (C.). — Voir Colombani (P.)	C5-II-70	de la matrice des énergies	613
Stephan (C.). — Voir Colombani (P.)	C5-II-55	Tibell (G.), Cowley (A. A.), Goldberg (D. A.),	
Stephanon (M.). — Voir Corvi (F.)	C5-II-33	Pugh (H. G.), Reichart (W.), Smith (S.	
Stetz (A.). — Voir Igo (D.)	C5-PDL-3	M.) and Wall (N. S.). — Scattering of	CC TIT 22
Stock (R.). — Voir Braun-Munzinker (P.)	C5-II-38	139MeV alpha particles by ¹² C	C5-III-32
Strohbusch (U.), Fink (C. L.), Zeidman (B.),	C3-11-30	Tomaselli (M.). — Voir Grünbaum (L.)	C5-II-78
Horoshko (R. N.), Fulbright (H. W.) and		Tomaselli (M.), Herold (D.) and Grünbaum	
Markham (R.). — (6Li, d) reaction on Ca		(L.). — Resonances effects in mesic atoms electromagnetic properties of ²⁰⁹ Bi	
isotopes	C5-II-34	and tallium isotopes	C5-III-51
Surget (G.). — Voir Decharge (J.)	485	Tondeur (F.). — Extension de la prescription	
Swiatecki (W. J.). — Common features and		de Strutinski à des puits de potentiel finis	825
differences between fission and heavy ion	C5-45	Torgerson (D. F.). — Voir Macfarlane (R. D.)	C5-II-59
physics	C5-II-30	Toth (K. S.) and Hahn (R. L.). — New osmium	
Sztark (H.). — Voir Cunsolo (A.)	C3-11-30	isotopes: 170Os and 171Os	C5-II-57
Marquez (L.). — Lifetime measurement		Toth (K. S.) Voir Hahn (R. L.)	C5-II-60
of the first excited state in ²² Ne	841	Traoré (B. M.) Voir Bassani (G.)	C5-II-3

Trochon (J.), Lucas (B.) et Michaudon (A.). — Mesure des variations de nombre moyen		Wagner (S.), Erkelenz (K.) and Bleuler (K.). — Tests and extensions of boson exchange	
\bar{v} de neutrons prompts émis lors de la fission de ²³⁹ Pu induite par neutrons de		potentials	C5-III-46
résonances	C5-I-21	Wall (N. S.). — Voir Tibell (G.)	C5-III-32
Tsein (H. J.). — Voir Armbruster (P.)	C5-II-61	Weber (J.). — Voir Specht (H. J.)	C5-I-6
Tys (J.). — Voir Colombani (P.)	C5-II-7	Weidinger (A.). — Voir Rossner (H. H.)	C5-II-6
Überall (H.). — Voir Hill (L. L.)	C5-III-50	Weigmann (H.) and Theobald (J. P.). — Evaluation of fission barrier parameters from near barrier fission and isomeric half life	
Valentin (J.). — Voir Barnéoud (D.)	15	data	C5-I-4
Vanhorenbeeck (J.). — Voir Albouy (G.)	835	Weiguny (A.). — Voir Friedrich (H.)	C5-II-49
Vanhorenbeeck (J.). — Voir Albouy (G.)	C5-II-70	Weise (W.). — Analysis of (γ, p) and (e, e', p)	
Vanhorenbeeck (J.). — Voir Albouy (G.)	C5-II-71	reactions in intermediate energies	C5-III-7
Vanuffelen (M.) Voir Lehmann (J.)	465	Weiss (W.). — Voir Gelbke (C. K.)	C5-II-1
Vautherin (D.). — Voir Flocard (H.)	C5-I-1	Wery (M.). — Voir Bassani (G.)	C5-II-32
Vautherin (D.). — Voir Flocard (H.)	C5-I-2	Westgaard (L.). — Production and study of	
Vazeille (F.). — Voir Jargeaix (B.)	C5-III-29	very neutron deficient nuclei	C5-III-52
Vazeille (F.). — Voir Meritet (L.)	C5-III-28	Wilkinson (D. H.). — The nucleus of the	
Veggian (M.). — Voir Taras (P.)	C5-II-66	future	C5-207
Verbeck (S. L.). — Voir Igo (G.)	C5-PDL-3	Wille (U.). — Voir Lipperheide (R.)	C5-III-1
Vervier (J.). — Voir Lehmann (J.)	465	Willis (A.), Comparat (V.), Frascaria (R.),	
Viano (J. B.), Loiseaux (J. M.), Le Chalony (Y.) et Martin (P.). — Réactions (d,		Marty (N.), Morlet (M.) et Willis (N.). — Bremsstrahlung proton-proton à 156 MeV	C5-III-47
⁶ Li) sur les noyaux ^{40–42} Ca, ⁵⁶ Fe, ⁵⁸ Ni à		Willis (A.). — Voir Morlet (M.)	C5-III-48
28 MeV	C5-II-37	Willis (N.). — Voir Tatischeff (B.)	C5-III-33
Videbæk (F.), Chernov (I.), Gross (E. E.) and		Willis (N.). — Voir Willis (A.)	C5-III-47
Christensen (P. R.). — Interference between Coulomb and nuclear excitation in		Wollnik (H.). — Voir Eichler (W.)	C5-PDL-2
inelastic scattering of 16O ions	C5-II-5	1 7	
Vienet (R.). — Voir Thevenet (B.)	C5-III-55	Wolter (H. H.). — Voir Tamura (T.)	C5-II-28
Vincent (J. S.). — Voir Bercaw (R. W.)	C5-III-18	Wong (C. Y.). — New islands of toroidal and bubble stability?	C5-II-54
Volant (C.). — Voir Conjeaud (M.)	C5-II-40		C5-II-34
Volant (C.). — Voir Conjeaud (M.)	C5-II-35	Wurm (J. P.). — Voir Haberkant (K.)	C3-11-24
Von Oertzen (W.). — Voir Bohlen (H. G.)	C5-II-23	Yuasa (T.). — Voir Didelez (J. P.)	C5-III-11
Von Oertzen (W.). — Voir Gelbke (C. K.)	C5-II-1		
Von Oertzen (W.), Marquardt (N.) and Inoue		Zafiratos (C. D.). — Voir Detraz (C.)	C5-II-45
(I.). — Subcoulomb transfer reactions		Zaidins (C. S.). — Voir Detraz (C.)	C5-II-45
induced by ¹⁶ O on ²⁰⁸ Pb and ²⁰⁹ Bi	C5-II-17	Zeidman (B.). — Voir Strohbusch (U.)	C5-II-34
Wagemans (C.) and Deruytter (A. J.). — Ratio		Ziock (K.). — Voir Bercaw (R. W.)	C5-III-18
of the ternary (LRA) to binary fission		Zisman (M. S.). — Voir Harvey (B. G.)	C5-II-44
cross-section for ²³⁵ U in the resonance		Zisman (M. S.). — Voir Pühlhofer (F.)	C5-II-19
region (below 40 eV)	C5-I-17	Zohni (O.). — Voir Rihan (T. H.)	C5-II-31
PHYSIQU	E ATOMIQ	UE ET MOLÉCULAIRE	
Ailawadi (N.) and Berne (BJ.). — Theories of depolarized light scattering	C1-221	Barbe (A.), Secroun (C.) et Jouve (P.). — Fonction potentielle anharmonique, au	
Amiot (Cl.). — Voir Connes (P.)	77	second ordre, des molécules isotopiques S ¹⁶ O ₂ et S ¹⁸ O ₂	209
Aref'ev (I. M.) and Fabelinskii (I. L.). — Man-		Barrat (M.). — Voir Chantepie (M.)	59
del'stam-Brillouin light scattering and		Bartoli (F. J.). — Voir Litovitz (T. A.)	C1-181
sound velocity dispersion in critical mix- tures	C1-131	Benard (C.). — Incoherent and chaotic bunching effects	1027
Atwood (M. R.), Vu (H.) et Vodar (B.).		Benedek (G. B.). — Voir Zollweg (J.)	C1-135
Etude de la variation de l'intensité des		Ben-Reuven (A.). — Voir Zamir (E.)	C1-237
spectres de vibration-rotation des molé-		Bergé (P.). — Voir Dubois (M.)	C1-37
cules d'hydracide sous l'action des gaz		Berlande (J.). — Voir Sayer (B.)	993
étrangers comprimés	495	Berne (B. J.). — Voir Ailawadi (N.)	C1-221
Azria (R.) et Fiquet-Fayard (F.). — Attache-		Berry (H. G.), Subtil (J. L.) et Carré (M.). —	
ment électronique dissociatif sur C ₂ H ₂	662	Détermination expérimentale de struc-	947
et C_2D_2	663	tures fines dans ⁴ HeI	741

et C_2D_2

Bertolotti (M.), Daino (B.), Di Porto (P.), Scudieri (F.) and Sette (D.). — Light scattering by fluctuations induced by an		Chu (B.), Thiel (D.), Tscharnuter (W.) and Fenby (D. V.). — Critical opalescence of perfluoromethylcyclohexane in carbon	
applied electric field in a nematic liquid crystal (APAPA)	C1-63	tetrachloride	C1-111 C1-69
Bobin (B.). — Interprétation de la bande	52.53	Connes (P.), Pinard (J.), Guelachivili (G.),	
harmonique 2 ν_3 du méthane 12 CH ₄ (de 5 890 à 6 107 cm ⁻¹)	345	Maillard (JP.), Amiot (Cl.), Grenier- Besson (ML.), Camy-Peyret (C.) et	
Boley (C. D.) and Yid (S.). — Spectral dis-		Flaud (JM.). — Etude de la bande	77
tributions of light scattered in dilute gases and gas mixtures	C1-43	ν ₄ de l'iodure de méthyle ICH ₃	77 853
Boon (J. P.) and Fleury (P. A.). — First sound	01.15	Cummins (H. Z.). — Voir Swinney (H. L.)	C1-81
and quantum effects in liquid neon	C1-19	(1) 20,000 (1) 20,000 (1) 20,000 (1)	
Bouchiat (M. A.). — Voir Langevin (D.)	C1-77	Daino (B.). — Voir Bertolotti (M.)	C1-63
Bouchiat (M. A.) and Meunier (J.). — Light scattering from surface waves on carbon		Delahaigue (A.), Khelifa (B.) et Jouve (P.). — Spectre d'absorption infrarouge du	
dioxide near its critical point	C1-141	monocristal de thiourée dans les phases	
Bouchiat (A. M.) and Pottier (L. C.) Rf		para- et ferroélectriques	507
experiments on Rb-rare-gas Van der Waals molecules	213	Desai (R. C.). — Rayleigh-Brillouin scattering from fluid mixtures	C1-27
Brossel (J.). — Voir Leduc (M.)	49	Di Porto (P.). — Voir Bertolotti (M.)	C1-63
Buteaux (J.), Schuller (F.), Lennuier (R.). —		Dodsworth (B. M.), Gay (J. C.) et Omont (A.).	
Discussion de l'influence de l'anisotropie du potentiel d'interaction sur l'élargisse-		 Autoélargissement des courbes de croisement de niveaux observées en rétro- 	
ment et le déplacement, par collisions, de		diffusion (niveau 6 ³ P ₁ du mercure)	65
certaines raies de résonances	635	Dubois (M.) et Bergé (P.). — Diffusion Ray-	
Calmettes (P.), Lagues (I.) et Laj (C.). —		leigh, quasi élastique dans les mélanges binaires, non-idéalité des solutions.	
Mesure de la turbidité et de l'intensité		Mesure des longueurs de corrélation	C1-37
diffusée par un mélange binaire critique	C1-121	Dumont (M.). — Saturation resonances by magnetic mode crossing in a multimode	
Calmettes (P.) and Laj (C.). — Simultaneous measurements of the thermal diffusion		gas laser	971
coefficient and of the thermal conducti-		Duong (H. T.) et Picqué (J. L.). — Etude de	
vity of transparent media, by means of a thermal lens effect	C1-125	l'effet Stark dans les raies de résonance du sodium par une méthode de jet atomique.	513
Caloin (M.) et Candau (S.). — Etude de la			
relaxation de vibration dans des liquides polyatomiques par analyse des spectres de		Ellenson (W. D.). — Voir McTague (J. P.)	C1-241
diffusion Brillouin	C1-7	Enright (G. D.), Stegeman (G. I. A.) and Stoicheff (B. P.). — The depolarized	
Camerini-Otero (R. D.). — Voir Pusey (P. N.)	C1-163	doublet spectra of molecular liquids:	C1 207
Camus (P.). — Etude théorique des configurations impaires 4 f ¹³ 5 d 6 s et 4 f ¹²		comparison of theory and experiment Eymery (R.) et Millet (J.). — Etude théorique	C1-207
6 s ² 6 p de Tm I	203	de la diffusion Thomson : influence de la	
Camus (P.). — Structure hyperfine des niveaux	540	statistique du rayonnement	191
pairs $4 f^{12} 5 d 6 s^2 + 4 f^{13} 6 s 6 p de Tm I$ Camus (P.) and Tomkins (F. S.). — Absorp-	749	Fabelinskii (I. L.). — Voir Aref'ev (I. M.)	C1-131
tion lines series in Lu I	197	Fabelinskii (I. L.) and Krivokhizha (S. V.). —	
Camy-Peyret (C.). — Voir Connes (P.)	77	Mandelshtan-Brillouin scattering and hypersound propagation in viscous	
Camy-Peyret (C.). — Voir Flaud (JM.)	741	liquids	C1-15
Candau (S.). — Voir Caloin (M.)	C1-7	Fabelinskii (I. L.) and Strarunov (V. S.).	
Cannell (D. S.) and Lunacek (J. H.). — The long range correlation length and iso-		Thermal and stimulated molecular scattering of light in liquids	C1-215
thermal compressibility of carbon dioxide		Fenby (D. V.). — Voir Chu (B.)	C1-111
near the critical point	C1-91	Fiquet-Fayard (F.). — Voir Azria (R.)	663
Carlson (F. D.) and Herbert (T. J.). — A study of the self-association of myosin by		Fiquet-Fayard (F.), Sizun (M.) et Goursaud (S.). — Emploi de méthodes classiques	
intensity fluctuation spectroscopy	C1-157	pour calculer les sections efficaces d'atta-	
Carré (M.). — Voir Berry (H. G.)	947	chement dissociatif	669
Cazabat-Longequeue (A. M.) et Lallemand (P.). — Diffusion de la lumière par un		Flaud (JM.), Camy-Peyret (C.) et Valentin (A.). — Spectre infrarouge à haute réso-	
gaz polyatomique	C1-57	lution des bandes $v_1 + v_2$ et $v_2 + v_3$ de	
Chantepie (M.) et Barrat (M.). — Détermi-		H ₂ ¹⁶ O	741
nation des structures hyperfines des états de la configuration (6 s, 6 d) de l'isotope		Fleury (P. A.). — Voir Connes (P.) Fleury (P. A.). — Dynamics of simple fluids	77
¹⁹⁹ Hg	59	by intermolecular light scattering	C1-264
Chen (S. H.) — Voir Nossal (R.)	C1-171	Fleury (P A) - Voir Roon (I P)	C1-17

Fournier (P. G.), Govers (T. R.), Van de		Langley (K. H.). — Voir Mohr (R.)	C1-97
Runstraat (C. A.), Schopman (J.) and Los		Laniepce (B.) et Cremer (G.). — Transfert de	
(J.). — Translational spectroscopy of the unimolecular dissociation $N_2^+ \rightarrow N^+ + N$	755	populations entre les niveaux de triplet	
Franklin (R. M.). — Voir Pusey (P. N.)	755	de la configuration (5 s, 5 d) de l'atome	0.50
Prankin (R. IVI.). — Voir Pusey (P. IV.)	C1-163	de cadmium en présence d'azote	853
Gauthier (E.). — Calcul des probabilités de		Leduc (M.), Laloë (F.) et Brossel (J.). — Mesure du rapport entre les moments	
transfert d'énergie. Application à la rela-		magnétiques du niveau 2 ³ S ₁ de ⁴ He et du	
xation de vibration du radical CS en pré-		niveau fondamental de ³ He	49
sence d'Argon	1005	Lennuier (R.). — Voir Buteaux (J.)	635
Gay (J. C.). — Voir Dodsworth (B. M.)	65	Lewy (S.). — Mesure de la température de	
Giglio (M.). — Voir Zollweg (J.)	C1-135	rotation de l'azote en écoulement hyper-	
Glorieux (P.). — Voir Macke (B.)	353	sonique par une sonde à faisceau d'élec-	955
Goldburg (W. I.) and Pusey (P. N.). — Observation of critical parameter renormaliza-		Litovitz (T. A.) and Bartoli (F. J.). — Depo-	933
tion in a three-component liquid mixture	C1-105	larized Rayleigh and Raman scattering:	
Goldburg (W. I.). — Voir Watts (D. R.)	C1-155	mechanism of orientational motion in	
Gornall (W. S.) and Wang (C. S.). — Light		liquids	C1-181
scattering from thermal fluctuations in		Litster (J. D.). — Voir Stinson (T. W.)	C1-69
disparate-mass gas mixtures	C1-51	Los (J.). — Voir Fournier (P. G.)	755
Goursaud (S.). — Voir Fiquet-Fayard (F.)	669	Low (W.). — Brillouin scattering in ordinary	
Govers (T. R.). — Voir Fournier (P. G.)	755	liquids	C1-1
Grenier-Besson (ML.). — Voir Connes (P.)	77	Luc-Koenig (E.). — Etude à priori de l'in-	
Greytak (T. J.) and Woerner (R. L.). — The		fluence des effets relativistes sur la struc- ture hyperfine de ¹²⁹ Xe et ¹³¹ Xe	847
two roton bound state	C1-269	Lunacek (J. H.). — Voir Cannell (D. S.)	C1-91
Guelachivili (G.). — Voir Connes (P.)	77	Zameen (0. 111). Von Camer (D. 51)	0171
Hall (L. H.). — Voir McTague (J. P.)	C1-241	Macke (B.) et Glorieux (P.). — Possibilité	
Hara (E. H.). — Voir May (A. D.)	C1-50	d'observation de transition interdite par double résonance hertzien-hertzien	353
Hawkins (G.). — Voir Zollweg (J.)	C1-135	Maillard (JP.). — Voir Connes (P.)	77
Henry (L.). — Voir Swinney (H. L.)	C1-81	Marteau (Ph.) et Schuller (F.). — Traitement	,,,
Herbert (T. J.). — Voir Carlson (F. D.)	C1-157	théorique du spectre d'absorption trans-	
		lationnelle induit dans les mélanges de gaz	
Jackel (L. D.). — Voir Watts (D. R.)	C1-155	rares	645
Jackson (D. A.). — Voir Simic-Glavaski (B.)	C1-183	Martin (F. B.). — Voir Kielich (S.)	C1-191
Jeannet (J. C.). — Voir Sayer (B.)	993	May (A. D.) and Hara (E. H.). — Rayleigh-	
Jouve (P.). — Voir Barbe (A.)	209	Brillouin scattering in compressed H ₂ , D ₂	C1-50
Jouve (P.). — Voir Delahaigue (A.)	507	and HD	C1-30
Keyes (T.) and Kivelson (D.). — Low frequen-		(L. H.). — Spectral virial expansion for	
cy depolarized VH-scattering from liquids		collision-induced light scattering in gases	C1-241
composed of anisotropic molecules	C1-231	Melki (G.). — Apport du dichroïsme circu-	
Khelifa (B.). — Voir Delahaigue (A.)	507	laire à la connaissance des modifications	
Kielich (S.), Lalanne (J. R.) et Martin (F. B.).		structurales de l'hémoglobine en solution au cours de la fixation de l'oxygène	37
— Apport de la diffusion Rayleigh dépo-		Meunier (J.). — Voir Bouchiat (M. A.)	C1-141
larisée et de l'effet Kerr optique à l'étude des corrélations radiales et d'orientation		Millet (J.). — Voir Eymery (R.)	191
dans quelques liquides	C1-191	Mohr (R.) and Langley (K. H.). — Light scat-	171
Kivelson (D.). — Voir Keyes (T.)	C1-231	tering from SF_6 in the vicinity of the criti-	
Koppel (D. E.). — Voir Pusey (P. N.)	C1-163	cal point	C1-97
Krivokhizha (S. V.). — Voir Fabelinskii (I. L.)	C1-15	Mountain (R. D.). — Temperature depen-	
		dence of depolarized scattered light near	C1 265
Lagues (I.). — Voir Calmettes (P.)	C1-121	the critical point	C1-265
Laj (C.). — Voir Calmettes (P.)	C1-121	Nossal (R.) and Chen (S. H.). — Light scatte-	
Laj (C.). — Voir Calmettes (P.)	C1-125	ring from motile bacteria	C1-171
Laj (C.). — Voir Lagues (I.)	C1-121		C1 047
Lalanne (J. R.). — Voir Kielich (S.)	C1-191	Oksengorn (B.). — Voir Thibeau (M.)	C1-247
Lallemand (P.). — Diffusion dépolarisée de la	C1-257	Omont (A.). — Voir Dodsworth (B. M.)	65
lumière due aux collisions Lallemand (P.). — Voir Cazabat-Longequeue	CI-ZJ1	Orsay Liquid Crystal Group. — Quasi elastic Rayleigh scattering in a smectic liquid	
(A. M.)	C1-57	crystal	C1-76
Laloë (F.). — Voir Leduc (M.)	49		
Langevin (D.) and Bouchiat (M. A.). — Light		Picqué (JL.). — Voir Duong (H. T.)	513
scattering from the free surface of a nema-		Pike (E. R.). — Rayleigh and Brillouin scat-	C1 05
tio liquid omystal	C1-77	tering from liquid helium	C1-25

Pike (E. R.). — The accuracy of diffusion-		Stinson (T. W.), Litster (J. D.) and Clark (N.	
constant measurements by digital auto-		A.). — Static and dynamic behavior near	
correlation of photon-counting fluctua-	C1-177	the order disorder transition of nematic liquid crystals	C1-69
tions	C1-177	Stoicheff (B. P.). — Voir Enright (G. D.)	C1-207
Pimbert (M.). — Transfert d'excitation élec- tronique, par collision atomique, entre		Strarunov (V. S.). — Voir Fabelinskii (I. L.)	C1-215
niveaux élevés d'un atome de césium	331	Subtil (J. L.). — Voir Berry (H. G.)	947
Pinard (J.). — Voir Connes (P.)	77	Swinney (H. L.), Henry (D. L.) and Cummins	
Pingot (O.). — Diffusion incohérente de pho-	• •	(H. Z.). — The Rayleigh linewidth in	
tons par des électrons liés	189	xenon near the critical point	C1-81
Poizat (J. C.) et Remillieux (J.). — Etude de		Thibase (M) and Observant (B) Same	
la canalisation d'ions légers de 0,5 à		Thibeau (M.) and Oksengorn (B.). — Some recent results about the depolarization of	
2 MeV à travers des cristaux d'or de		the Rayleigh light scattered by optically	
quelques centaines d'angströms d'épais-		isotropic molecules	C1-247
seur	1013	Thiel (D.). — Voir Chu (B.)	C1-111
Pottier (L.). — Evolution d'un spin classique		Tomkins (F. S.). — Voir Camus (P.)	197
«habillé» par un champ de radiofré-	655	Tscharnuter (W.). — Voir Chu (B.)	C1-111
quence polarisé rectilignement			~
Pottier (L. C.). — Voir Bouchiat (A. M.)	213	Valentin (A.). — Voir Flaud (J. M.)	741
Pusey (P. N.). — Voir Goldburg (W. I.)	C1-105	Van de Runstraat (C. A.). — Voir Fournier	
Pusey (P. N.), Schaefer (D.W.), Koppel (D. E.),		(P. G.)	755
Camerini-Otero (R. D.) and Franklin (R.		Vodar (B.). — Voir Atwood (M. R.)	495
M.). — A study of the diffusion properties of R 17 virus by time-dependent light		Vu (H.). — Voir Atwood (M. R.)	495
scattering	C1-163	Wang (C. S.). — Voir Gornall (W. S.)	C1-51
beattering	01 100	Watts (D. R.), Goldburg (W. I.), Jackel (L. D.)	01 51
Remillieux (J.). — Voir Poizat (J. C.)	1013	and Webb (W. W.). — Preliminary obser-	
Roussel (M.). — Réaction des ions hydrocar-		vations of light scattering from the ³ He-	
bonés CH ⁺ _n avec des cibles gazeuses dans		⁴ He mixture near its consolute critical	
la gamme d'énergie 40-140 keV	321	point	C1-155
		Webb (W. W.). — Voir Watts (D. R.)	C1-155
Sayer (B.), Jeannet (J. C.) et Berlande (J.). —		Webb (W. W.). — Voir Wu (E. S.)	C1-149
Ecart à l'équilibre thermodynamique		Woerner (R. L.) Voir Greytak (T. J.)	C1-269
d'une vapeur de césium ionisée. Etude expérimentale et comparaison avec un		Wu (E. S.) and Webb (W. W.) The liquid-	
modèle statistique	993	vapor interface of sulfur-hexafluoride near	
Schaefer (D. W.). — Voir Pusey (P. N.)	C1-163	the critical point	C1-149
Schopman (J.). — Voir Fournier (P. G.)	755	Yeh (Y.), Schuster (T. M.) and Yphantis (D.	
Schuller (F.). — Voir Buteaux (J.)	635	A.). — Quasi-elastic light scattering stu-	
Schuller (F.). — Voir Marteau (Ph.)	645	dies of the kinetics of lysozyme dimeriza-	
Schuster (T. M.). — Voir Yeh (Y.)	C1-169	tion	C1-169
		Yip (S.). — Voir Boley (C. D.)	C1-43
Scudieri (F.). — Voir Bertolotti (M.)	C1-63	Yphantis (D. A.). — Voir Yeh (Y.)	C1-169
Secroun (C.). — Voir Barbe (A.)	209	Zamin (E.) and Day Dayron (A.) Malana	
Sette (D.). — Voir Bertolotti (M.)	C1-63	Zamir (E.) and Ben-Reuven (A.). — Molecu- lar reorientation model for depolarized	
Simic-Glavaski (B.) and Jackson (D. A.). —		Rayleigh scattering in viscoelastic liquid	C1-237
Rayleigh depolarized light scattered from isotropic and anisotropic molecular		Zollweg (J.), Hawkins (G.), Smith (I. W.),	01 20
liquids	C1-183	Giglio (M.) and Benedek (G. B.). — The	
Sizun (M.). — Voir Fiquet-Fayard (F.)	669	spectrum and intensity of light scattered	
Smith (I. W.). — Voir Zollweg (J.)	C1-135	from the bulk phases and from the liquid-	
		vapor interface of xenon near its critical	C1 10.0
Stegeman (G. I. A.). — Voir Enright (G. D.)	C1-207	point	C1-135
DI	UVSIOHE I	DEC DIACMAC	
	IIISIQUE I	DES PLASMAS	
Gonfalone (A.). — Densité et température		Rachman (A.) et Marchal (C.). — Etude des	
électroniques déduites de l'observation du cône de résonance d'une antenne dans		conditions du seuil de claquage de l'argon	
un magnétoplasma	521	à haute pression sous l'effet du rayonne- ment d'un laser	361
The state of the s		Ripault-Misguich (J.). — Mesure de la densité	501
Marchal (C.). — Voir Rachman (A.)	361	d'un plasma par sonde de Langmuir en	
		présence de champ magnétique	761
Oddou (C.). — Instabilité cyclotronique colli-		Tu Khiet. — Stabilisation des modes nor-	
sionnelle dans les gaz ionisés à effet Ram-		maux de dérive dans un plasma inhomo-	
sauer	861	gène par un champ magnétique cisaillé	1037

PHYSIQUE DE LA MATIÈRE CONDENSÉE

Agren (G.). — A model for the non-diffusive		Bernard (M.), Fetiveau (Y.), Grange (G.) et	
part of the motion of the paraffinic chains		Perrigot (J.). — Tensions et courants	
in lipid-water systems. Analyses of NMR experiments	887	pendant la dépolarisation d'un matériau	C2 250
Ainger (F. W.) Voir Clarke (R.)	C2-143	ferroélectrique	C2-259
Alais (P.). — Développement d'une rétine	C2-143	Eyraud (L.). — Anomalie de chaleur spé-	
phonosensible à 256 — 256 X points		cifique au voisinage des transitions ferro-	
réalisés à partir de transducteurs élec-		paraélectriques	C2-93
trostatiques	C6-36	Bersuker (I. B.), Vekhter (B. G.) and Muza-	
Albers (J.). — Time dependence of material		levskii (A. A.). — On the microtheory	
constants of TGS after polarization rever-		of spontaneous polarization and phase	
sal	C2-199	transitions in crystals of perovskite-type and of ones with tetrahedral structural	
Aleksandrova (I. P.), Yuzvak (V. I.) and Sha-		units	C2-139
banov (V. F.). — Mechanisms of ferroe-		Besson (J. M.). — Voir Piccioli (N.)	119
lectric phase transition in crystals with reorientating structural groups	C2-63	Beyer (R. T.). — Voir Victor (A. E.)	C6-166
Alexandrova (L. M.). — Voir Verbitskaya (T.	C2-03	Biquard (P.). — Les premiers pas dans les	
N.)	C2-273	recherches sur les ultrasons	C6-1
Alippi (A.), Palma (A.), Palmieri (L.) and	02273	Bismuth (G.). — Voir Micheron (F.)	C2-147
Socino (G.). — Optical probing of non-		Blinc (R.). — Voir Levstik (A.)	C2-235
linear effects in acoustic surface waves	C6-263	Blinc (R.). — Voir Žekš (B.)	C2-67
Allan (G.). — Voir Masri (P.)	85	Bodin (C.). — Voir Baixeras (J.)	407
Altam (H. E.). — Voir Victor (A. E.)	C6-166	Bonch-Bruevich (V. L.). — Some computa-	
Amuedo (J. W.). — Voir Takagi (M.)	C6-59	tional problems of the theory of disor-	
Anderson (C. H.). — Application of the spin-		dered semiconductors	C3-153
phonon spectrometer to pulsed very high		Boring (A. M.) and Snow (E. C.). — Electronic	C3-89
frequency phonons	C4-101	structure of copper Bornarel (J.) et Lajzerowicz (J.). — Déplace-	C3-67
Anderson (C. H.) and Sabisky (E. S.). —		ments et vitesses des parois de domaine	
Acoustic interferometry in liquid helium		dans KDP; existence de champs élec-	
films	C6-87	triques critiques	C2-151
Annis (A. D.). — Voir Keve (E. T.)	C2-229	Bornera (G.), Borsa (F.) and Rigamonti (A.).	
Antonini (M.), Sosnowska (I.) and Vadacchino		— N. M. R. study of phase transitions in	CO 105
(M.). — Incoherent neutron scattering from hydrogen bond in KDP and ADP	C2-83	perovskites crystals	C2-195
	C3-95	Borsa (F.). — Voir Bornera (G.) Bouchiat (M. A.). — Voir Langevin (D.)	101
Arbman (G.). — Voir Johansson (B.)		Bouillot (J.). — Voir Gnininvi (L.)	1049
Arnodo (C.). — Voir Hartemann (P.)	C6-266	Bouligand (Y.). — Recherches sur les textures	1047
Askochensky (A. A.). — Voir Shuvalov (L. A.)	C2-163	des états mésomorphes. 1. Les arrange-	
Attal (J.), Girard (P.) et Rouzeyre (M.). — Etude par diffraction Brillouin des		ments focaux dans les smectiques : rappels	
domaines acoustoélectriques dans le sul-		et considérations théoriques	525
fure de cadmium	C6-156	Bouligand (Y.). — Recherches sur les textures	
Authier (A.). — Voir Petroff (J. F.)	C2-203	des états mésomorphes. 2. Les champs	715
Averill (F. W.). — Voir Conklin (J. B.)	C3-213	polygonaux dans les cholestériques Boutard (M.) et Pinard (P.). — Influence de	/13
		la polarisation des phonons sur la conduc-	
Baddur (A.). — Voir Strukov (B. A.)	C2-155	tibilité thermique de monocristaux de	
Baixeras (J.) et Bodin (C.). — Etude expéri-		phosphure d'indium entre 300 °K et	
mentale de l'anisotropie de la résistance		800 °K	787
de surface de supraconducteurs de type II au voisinage de H _{C3}	407	Boyer (L.). — Voir Fontaine (H.)	1115
Baldokhin (Yu. V.), Goldanskii (V. I.), Maka-	,,,	Březina (B.). — Voir Glogarová (M.)	C2-75
rov (E. F.), Mitin (A. V.) and Povitskii (V.		Bridoux (E.). — Voir Coussot (G.)	C6-276
A.). — The Mössbauer study of ultra-		Bridoux (E.), Rouvaen (J. M.) Delannoy (M.) et Moriamez (M.). — Interaction non	
sound stimulated by radiofrequency field		linéaire de deux ondes acoustiques super-	
in ferrodielectrics	C6-145	ficielles se propageant en sens opposés à	
Balkanski (M.). — Voir Piccioli (N.)	119	la surface d'un cristal piézoélectrique	C6-245
Baranov (A. I.). — Voir Shuvalov (L. A.)	C2-165	Brochard (F.). — Mouvements de parois dans	
Bassani (F.). — Localized states and band	G2 01	une lame mince nématique	607
structure	C3-21	Brochard (F.). — Voir Pieranski (P.) Budd (H.). — Voir Perrin (N.)	681 C4-33
Bauza (J. M.). — Voir Torguet (R.)	C6-235	Buckhardt (C. B.). — Voir Grandchamp (P	
Belyaev (L. M.), Fridkir (V. M.), Grekov (A.		A.)	C6-60
A.), Kosonogov (N. A.) and Rodin (A. I.). — Photoferroelectric effects in Av Byr		Burfoot (J. C.). — Entropy of an order-	
Cym and BaTiO ₃ -type ferroelectrics	C2-123	disorder transition	C2-79

Burfoot (J. C.). — Voir Clarke (R.)	C2-143	Coussot (G.) et Bridoux (E.). — Etude de la	
Burfoot (J. C.) and Martirena (H. T.). —		génération d'harmoniques en onde de surface dans des cristaux piézoélec-	
PZT-5 under pressure dielectric and	C2-249	triques	C6-276
piezoelectric properties	C2-235	Cowley (R. A.). — Neutron inelastic scattering	•••
Burgar (M.). — Voir Levstik (A.) Bursian (E. V.) and Ya. Girshberg (G.). —	C2-233	at structural phase transitions	C2-7
Information about the phonon spectrum		Cowley (R. A.). — Voir Coombs (G. J.)	C2-57
of ferroelectric obtained by limitation of		Cowley (R. A.). — Voir Stirling (W. G.)	C2-135
crystal size	C2-69	Cunningham (J. A.) and Quate (C. F.). —	
Bye (K. L.). — Voir Keve (E. T.)	C2-229	High-resolution, high-contrast acoustic	
		imaging	C6-42
Cailler (M.) et Ganachaud (J. P.). — Quelques		Cyrot (M.). — Theory of Mott transition	407
aspects théoriques de l'émission électro- nique secondaire du cuivre, produite par		application to transition metal oxides	125
bombardement d'électrons de faible éner-		Cyrot (M.). — Irreversible effects and pin-	002
gie	903	ning	803
Calais (J. L.) et Sperber (G.). — Calculs de		Cyrot-Lackmann (F.). — Electronic structure of disordered systems	C3-167
l'énergie de cohésion du métal de lithium	C3-205	Cyrot-Lackmann (F.). — Voir Gaspard (J. P.)	C3-107
Cambon (G.), Sagnes (G.) et Rouzeyre (M.). —		Czeskleba (H.). — Voir Varret (F.)	549
Amplification de l'onde de Bleustein-		Czeskieba (11.). — von vanet (1)	547
Gulyaev dans le CdS photoconducteur	C6-206	Dagens (L.). — A new variational expression	
Candau (S.). — Voir Martinoty (P.)	C6-81	of the effective exchange and correlation	
Carl (K.) and Hardtl (K. H.). — Polarization,		energy and related approximations	C3-83
electrostriction and piezoelectric activity	C2 251	Das (P.). — Voir Wang (W. C.)	C6-196
of Pb(Zr_xTi_{1-x})O ₃ ceramics	C2-251 C6-235	Day (W.). — Phonon transmission along	
Carles (C.). — Voir Torguet (R.).	C0-233	sapphire plates	C4-65
Carlson (D. G.) and Segmuller (A.). — Observation of Kohn-type anomalies in the		Dayem (A. H.). — Superconducting tunnel	04.45
electron-phonon interaction on the Fermi		functions as phonon sources and detectors	C4-15
surface of degenerate semiconductors	C4-81	Defebvre (A.). — Voir Caudron (F.)	C6-220
Carrara (P.). — Voir Lanusse (C.)	429	Deiguen (M. F.). — Voir Vichnin (V. S.)	C6-124
Carrara (P.). — Voir Redoules (J. P.)	281	de Gennes (P. G.). — Propriétés acoustiques	OC 00
Caudron (F.), Pouliquen (J.) et Defebvre (A.).		des cristaux liquides	C6-80
- Mesures des variations de la vitesse et		de Jong (M.). — Application of ferroelectric	C2-33
de l'atténuation d'une onde de surface par		materials in electrical filters	C2-33
méthodes de bouclage	C6-220	De Klerk (J.). — Past, present and future of surface elastic waves	C6-182
Cerf (R.). — Ultrasons et cinétique confor-		Delannoy (B.). — Voir Marini (J.)	C6-53
mationnelle des macromolécules	C6-99	Delannoy (M.). — Voir Bridoux (E.)	C6-245
Chabin (M.) et Gilletta (F.). — Renversement		Demangeat (C.), Gautier (F.) and Riedinger	C0-243
de la polarisation dans le sulfate de gly-	C2 200	(R.). — The pseudopotential theory and	
cocolle	C2-209	the impurity states in noble and transition	
Chandrasekharan (V.). — Voir Uzan (E.)	771	metals	C3-251
Chanussot (G.). — Voir Málek (Z.)	C2-233	de Novion (CH.) et Costa (P.). — Propriétés	
Cheeke (J. D. N.), Hebral (B.) and Martinon		électroniques des carbonitrures d'uranium	
(C.). — Experiments on thermal phonon	C4 57	$U(C_{1-x} N_x) \ldots$	257
radiation into quartz substrates	C4-57	Denoyer (F.) et Lambert (M.). — Diffusion de	
Cladis (P. E.) and Kléman (M.). — Non-		rayons X anisotropes et critique donnée	
singular disclinations of strength $S = +1$ in nematics	591	par les monocristaux de KMnF ₃ et	C2-131
Clarke (R.), Ainger (F. W.) and Burfoot (J. C.).	3)1	NaNbO ₃	143
- Trapping sites, optical damage, and			143
thermally stimulated current in ferroelec-		Desrousseaux (G.). — Forces d'interaction dipolaires capables de provoquer la	
tric oxide crystals	C2-143	migration des grains d'une couche métal-	
Cochran (W.). — Voir Wallace (E. A.)	C2-59	lique très mince déposée par évaporation	
Colles (M. J.). — The generation of large k		thermique	401
vector phonons	C4-41	Deville (A.). — Voir Gayda (J. P.)	935
Conklin (J. B.), Averill (F. V.) and Hattox (T.		Deviot (B.). — Voir Scherrer (S.)	895
M.). — Three aspects of the computation		Didkovskaja (O. S.). — Voir Klimov (V. V.)	C2-243
of electronic structures of metals at the		Dieulesaint (E.). — Traitement de signaux	
university of Florida: isomorphic phase		électriques par ondes élastiques de Ray-	
transition and cohesive energy in Cs:		leigh	C6-176
vanadium non-magnetic to magnetic tran- sition with lattice size : and soft X-ray		Dobrzynski (L.). — Voir Masri (P.)	85
emission spectra of TiC and NbC	C3-213	Dolino (G.), Lajzerowicz (J.) et Vallade (M.).	
Coombs (G. J.) and Cowley (R. A.). — The	C5 215	- La génération de la seconde harmo-	-
dielectric response of crystals	C2-57	nique et la ferroélectricité	C2-21
Costa (P.). — Voir de Novion (C. H.)	257	Doukhan (N.) et Saada (G.). — Interaction des atomes d'impureté avec les disloca-	
Couson (B.). — Voir Godefroy (G.)	C2-117	tions vis	915
, , , , , , , , , , , , , , , , , , , ,			

Dubois-Violette (E.). — Theory of instabilities		Fukai (Y.). — Some implications of Bloch	
of nematics under A. C. electric fields:	0.5	electrons in the nuclear quadrupole inter-	
special effects near the cut off frequency	95	action in metals	C3-235
Ducastelle (F.). — Cluster effects in disorder-	CIO 0.00	Galaup (J. P.) et Trommsdorff (H. P.). —	
ed alloys	C3-269	Structure de la transition électronique	
Dudarev (V. Ja.). — Voir Solov'ev (S. P.)	443	pure $n - \pi^{*-1}B_{2g} \leftarrow {}^{1}A_{g}$ de la p-benzo-	
Dudreva (B.) and Grande (S.). — NMR investigations of phthalocyanine	C2-183	quinone en phase monocristalline	1067
Durand (P. H.). — Voir Gélard (J.)	C2-165 C3-127	Ganachaud (J. P.). — Voir Cailler (M.)	903
Durcek (J.). — Absorption des ultrasons dans	C3-121	Gard (R.). — Voir Remoissenet (M.)	C2-105
les semiconducteurs vitreux	C6-95	Garland (C. W.). — Ultrasonic investigation	
Dvorak (V.). — Boracites — an example of		of the lambda transitions in NH ₄ Cl and	
improper ferroelectrics	C2-89	NH ₄ Br	C6-134
Dynes (R. C.). — Voir Narayanamurti (V.)	C4-11	Gaspard (J. P.) and Cyrot-Lackmann (F.). —	
Townson (E. N.)		Application of the moment's method to	
Economou (E. N.). — Localized eigenstates in disordered systems	C3-145	the calculation of the density of states of	C2 155
	C3-143	the impurity band	C3-175
Ehrenreich (H.). — Electronic structure of binary substitutional alloys	C3-245	Gaudry (R.). — Voir Hartemann (P.)	C6-266
	C4-25	Gautier (F.). — Voir Demangeat (C.)	C3-251
Eisenmenger (W.). — Voir Welte (M.)	C4-23	Gavrilyatchenko (V. G.). — Voir Fesenko (E.	
Elbaum (C.), Fjeldly (T.) and Ishiguro (T.). — Interaction of phonons with stress-split		G.)	C2-169
acceptor states in Ge and Si	C4-95	Gayda (J. P.), Deville (A.) et Lendway (E.).	
Elbaum (C.). — Etude de la résonance anti-	0,75	Rétrécissement du spectre RPE du ZnS: Mn; distance critique d'échange	935
ferromagnétique par les ultrasons au voi-		Gelard (J.) and Durand (P. H.). — Electronic	733
sinage de la température de Néel	C6-123	structure of the ground state of the cova-	
Elkomoss (S. G.). — Voir Stebe	877	lent and ionic solids: use of localized	
Epperlein (P.). — Voir Trumpp (J.)	C4-29	orbitals. Application to the equation of	
Escaig (B.). — Quelques nouveaux problèmes		state of the diamond	C3-127
théoriques rencontrés dans la déformation		Ghozlan (A.). — Ondes de pression osmotique	
des oxydes	919	dans les solutions de ³ He dans ⁴ He super-	
Eyraud (L.). — Voir Bernard (M.)	C2-93	fluide	415
	50.050	Gibbs (P.). — Voir March (N. H.)	C3-259
Faulkner (J. S.). — Voir March (N. H.)	C3-259	Gilletta (F.). — Voir Chabin (M.).	C2-209
Fert (A. R.). — Voir Lanusse (C.)	429	Girard (P.). — Voir Attal (J.)	C6-156
Fert (A. R.). — Voir Redoules (J. P.)	281	Glogarová (M.), Fousek (J.) and Brèzina (B.).	
Fesenko (E. G.) and Gavrilyatchenko (V. G.).		— Properties of ferroelectric Cd ₂ (NH ₄) ₂	~~
- The reciprocal domains in PbTiO ₃	CO 160	(SO ₄) ₃	C2-75
crystals	C2-169	Glogavora (H.). — Voir Malgrange (C.)	C2-159
Fetiveau (Y.). — Voir Bernard (M.)	C2-259	Gnininvi (L.) et Bouillot (J.). — Etude dyna-	
Fjeldly (T.). — Voir Elbaum (C.)	C4-95	mique théorique de BaTiO ₃ dans la phase	1049
Fontaine (H.), Fouret (R.), Boyer (L.) et		cubique	C6-170
Vacher (R.). — Dispersion des ondes acoustiques dans le succinonitrile en phase		Godefroy (L.). — Les mesures de bruit dans	C0-170
plastique	1115	les ferroélectriques	C2-39
Fontana (M. P.), Lambert (M.) et Quittet (A.	1113	Godefroy (G.) et Couson (B.). — Conducti-	02 37
M.). — Désordre de structure et diffusion		vité du titanate de baryum : monocristaux	
Raman de BaTiO ₃ et KNbO ₃	C2-53	purs et dopés (Fe, OH)	C2-117
Fontana (M.). — Voir Schnatterly (S. E.)	691	Goldanskii (V. I.). — Voir Baldokhin (Yu. V.)	C6-145
Fouret (R.). — Voir Fontaine (H.)	1115	Goldberg (I. B.) and Weger (M.). — The elec-	
Fournier (J. M.). — Propriétés magnétiques et	1113	tronic band structure of V ₃ Ga and V ₃ Si.	C3-223
structure électronique du plutonium	699	Grandchamp (PA.), Burckhardt (C. B.) et	
Fousek (J.). — Voir Glogarova (M.)	C2-75	Hoffmann (H.). — Sonar à ouverture	
	C2-13	synthétique	C6-60
Frandon (J.) et Lahaye (B.). — Pertes caractéristiques des électrons dans TlCl, TlBr,		Grande (S.). — Voir Dudreva (B.)	C2-183
TII et calcul des fonctions optiques entre 3		Grange (G.). — Voir Bernard (M.)	C2-259
et 25 eV	229	Gränicher (H.). — Magnetic resonance and	
Frankus (P.). — Voir Valenta (M. W.)	C2-247	the problem of the definition of anti-	
Freeman (A. J.) and Koelling (D. D.). — Rela-		ferroelectricity	C2-187
tivistic electronic band structure of the		Grekov (A. A.). — Voir Belyaev (L. M.)	C2-123
heavy metals and their intermetallic com-		Grekov (A. A.). — Voir Fridkin (V. M.)	C2-127
pounds	C3-57	Guyon (E.). — Voir Pieranski (P.)	681
Fridkin (V. M.). — Voir Belyaev (L. M.)	C2-123		
Fridkin (V. M.), Grekov (A. A.), Savtchenko		Hadni (A.) et Thomas (R.). — Renversement	
(E. A.) and Volk (T. R.). — Extrinsic		réversible de domaines dans le sulfate de	C2-201
photoconductivity in ferroelectrics due to	C2 127	glycolle (TGS) à l'aide d'un spot laser Harbeke (G.). — Voir Steigmeier (E. F.)	C2-201
surface layers	C2-127	Transent (O.). Toll Stergment (E. 1.)	02 33

Hardtl (K. H.). — Voir Carl (K.)	C2-251	Joyes (P.). — Edge singularity in tight binding	
Harris (F. E.) Kumar (L.) and Monkhorst (H.		approximation	1081
J.). — The exact Hartree-Fock problem	G2 00	Jozefowska (J.), Kosmol (M.) and Sliwinski	
for lithium crystals: a preliminary report	C3-99	(A.). — Ultrasonic light diffraction for the case of the intense laser beam generat-	
Harrison (W. A.). — An « orbital correction method » for solid state calculations	C3-179	ing a 3rd harmonic in liquids	C6-239
Hartemann (P.), Arnodo (C.) et Gaudry (R.).	03 177	Junginger (H. G.). — Voir Van Haeringen	
Excitation d'ondes de surface de fréquence		(W.)	C3-185
supérieure à 1 000 MHz avec des transduc-		Juras (G.). — Voir Sommers (C. B.)	C3-39
teurs réalisés par masquage électronique.	C6-266	Kapyshev (A. G.). — Voir Venevtsev (Yu-N.).	C2-241
Hartemann (P.), Ostrowsky (D.), Reiber (M.) et Torquet (R.). — Diffraction par un		Katiyar (R. S.). — Voir Ryan (J. F.)	C2-49
faisceau d'ondes élastiques de surface de		Keller (J.). — The use of clusters of atoms in	02 17
lumière guidée dans une couche mince	C6-216	the calculation of electronic structures	C3-241
Hartmann-Boutron (F.) and Spanjaard (D.). —		Kennard (E.). — Voir Waber (J. T.)	C3-103
Study of radioactive impurities in solids.	205	Keve (E. T.), Bye (K. L.), Whipps (P. W.) and	
I. Radiation characteristics	285	Annis (A. D.). — The effects of additives	
(D.) Yoir Spanjaard	565	on the pyroelectric properties of TGS	C2-229
Hartmann-Boutron (F.). — Voir Varret (F.)	549	Kieffer (J.). — Voir Tufeu (R.)	673
Hattox (T. M.). — Voir Conklin (J. B.)	C3-213	Kinder (H.). — Use of the « bremsspectrum »	
Haymann (P.). — Voir Vigier (P.)	793	for phonon spectroscopy on Al ₂ O ₃ : V ³⁺ and for a study of the phonon propagation	
Hebral (B.). — Voir Cheeke (J. D. N.)	C4-57	in granular aluminium	C4-21
Hedin (L.) and Lundqvist (S.). — On local	0,0,	King (P. J.). — Parametric oscillations in a	
density schemes	C3-73	liquid filled acoustic resonator	C6-281
Herman (F.). — Calculation of the electronic		Kirikov (V. A.). — Voir Shuvalov (L. A.)	C2-163
structure of solids in the seventies	C3-13	Kirkpatrick (S.). — Binary alloys in the string-	
Herman (F.). — Voir Schwarz (K.)	C3-277	scattering limit: moment analysis	C3-247
Hewat (A. W.). — Voir Zaccai (G.)	C2-133	Kirpichnikova (L. F.). — Voir Shuvalov (L.	02.165
Hoffmann (H.). — Voir Grandchamp (P. A.)	C6-60	A.)	C2-165
Huet (D.), Maneval (J. P.) et Zylberstejn (A.).		Kleimann (H.), Paletto (J.) et Richard (M.). — Caractéristiques des céramiques ferro-	
— Observation de la dispersion des ondes	C4 01	électriques minces et multicouches, obte-	
acoustiques dans les solides	C4-91	nues par projection au chalumeau à plas-	
Imbert (P.). — Voir Varret (F.)	549	ma ou par frittage	C2-269
Isherwood (B. J.) and James (J. A.). — Struc-		Klein (R.). — Theory of Rayleigh and Bril-	C2 11
ture of deuterated KDP crystal: deute-		louin scattering near the phase transition.	C2-11
rium concentration determination	C2-91	Kléman (M.). — Voir Cladis (P. E.)	591
Ishiguro (T.). — Voir Elbaum (C.)	C4-95	Klimov (V. V.), Didkovskaja (O. S.) Savenkova (G. E.) and Venevtsev (Ju-N.). — New	
Ismailzade (I. H.). — Crystal chemistry of		piezoelectric ceramics	C2-243
perovskite-like layer-type ferroelectrics	C2-237	Kmita (A. M.) and Medved' (A. V.). — Acous-	
Isupov (V. A.). — Voir Smolensky (G. A.)	C2-25	toelectric effect in piezoelectric semi-	
Ivanov (N. R.). — Voir Shuvalov (L. A.)	C2-165	conductor layered structures	C6-202
Ivanova (V. U.). — Voir Venevtsev (Yu-N.)	C2-255	Koelling (D. D.). — Voir Freeman (A. J.)	C3-57
Izrael (A.), Petroff (J. F.) et Authier (A.). — Etude par topographie aux rayons X des		Kohn (W.) and Olson (J.). — Developments of	
mouvements de parois de domaines dans		the local approximation for disordered	C3-135
le TGS	C2-203	systems	C3-155
		Koptsik (V. A.). — Voir Strukov (B. A.)	C2-133
Jacobsen (E. H.). — Generation and detection of ultrasonic waves beyond 100 GHz	C6-25	Korringa (J.). — Propagating modes of a heterogeneous, macro-homogeneous con-	
		tinuum	C6-117
Jacquesson (J.). — Voir Migault (A.) James (J. A.). — Voir Isherwood (B. J.)	599 C2-91	Kosmol (M.). — Voir Jozefowska (J.)	C6-239
Janak (J. F.). — Voir Williams (A. R.)	C3-131	Kosonogov (N. A.). — Voir Belyaev (L. M.).	C2-123
Janta (J.). — Voir Málek (Z.)	C2-233	Krainik (N. N.), Popov (S. N.) and Mylnikova	
Jessel (M.). — Voir Otani (T.)	C2-233	(I. E.). — Nuclear quadrupole and elec-	
Joffrin (J.). — Interaction des phonons et des	C0-01	troacoustic echoes in ferroelectric SbSI	C2-179
fluctuations critiques	C6-127	Kramer (B.), Maschke (K.) and Thomas (P.). —	
Johansson (B.) and Arbman (G.). — A simpli-		Computation of ε ₂ -spectra of amorphous	C2 157
fied method for collective excitations in		semiconductors	C3-157
realistic systems	C3-95	Krassil'nikov (V. A.). — Ultrasons et processus non linéaires	C6-225
Johnson (K. H.). — Cluster model for the		Kuchar (F.). — Voir Valenta (M. W.)	C2-247
electronic structures of complex mole- cules and solids	C3-195	Kumar (L.). — Voir Harris (F. E.)	C3-99
Jongeians (A.). — Voir Lefeuvre (S.)	C2-97	Kuzmin (I I) Voir Solov'ev (S. P.)	443

Lajzerowicz (J.). — Voir Bornarel (J.)	C2-151	Malgrange (C.) and Glogarova (M.). — Study	
Lajzerowicz (J.). — Voir Dolino (G.)	C2-21	of ferroelectric domains in gadolinium	
Lahaye (B.). — Voir Frandon (J.)	229	molybdate	C2-159
Lambert (M.). — Voir Denoyer (F.)	C2-131	Maneval (J. P.). — Voir Huet (D.)	C4-91
Lambert (M.). — Voir Fontana (M. P.)	C2-53	March (N. H.), Gibbs (P.), Stocks (G. M.) and	
Lambert (M.). — Voir Quittet (A. M.)	C2-141	Faulkner (J. S.). — Copper-zinc alloys as treated by virtual crystal and related	
Langevin (D.). — Analyse de la lumière diffu-		approximations	C3-259
sée par la surface libre d'un cristal liquide		Marini (J.), Rivenez (B.), Delannoy (B.) et	C3-237
nématique. Mesure de la tension superfi-		Moriamez (M.). — Images acoustiques	
cielle et des coefficients de viscosité	249	visualisées par une caméra ultrasonore.	
Langevin (D.) et Bouchiat (M. A.). — Spectre		Avantages et inconvénients par rapport	~
des fluctuations thermiques à la surface libre d'un cristal liquide nématique	101	aux autres méthodes de visualisation	C6-53
Lannoo (M.). — Origin of the minimum in the	101	Maris (H. J.). — Radiation of phonons by	C4.2
total energy curve of diamond using the		metallic films	C4-3
extended Hückel theory	1105		C4-57
Lanusse (C.), Carrara (P.), Fert (A. R.), Mis-		Martinoty (P.) et Candau (S.). — Mesure de l'impédance mécanique de cisaillement des	
chler (G.) et Redoules (J. P.). — Etude de		mésophases nématique et cholestérique	
la chaleur spécifique du chlorure et du		aux fréquences ultrasonores	C6-81
bromure ferreux	429	Martirena (H. T.). — Voir Burfoot (J. C.)	C2-249
Lanusse (M. C.). — Voir Redoules (J. P.)	281	Maschke (K.). — Voir Kramer (B.)	C3-147
Lassmann (K.). — Voir Trumpp (J.)	C4-29	Mason (W. P.). — Use of piezoelectric and	
Lassmann (K.). — Voir Welte (M.)	C4-25	ferroelectric materials in ultrasonic trans-	06.45
Lebedev (V. M.). — Voir Venevtsev (Yu-N.)	C2-241	ducers	C6-15
Le Bihan (R.) et Maussion (M.). — Observa-		Masri (P.), Allan (G.) et Dobrzynski (L.). — Perturbations de quelques propriétés	
tion directe des domaines ferroélectriques		vibrationnelles des surfaces cristallines	
du sulfate de glycocolle (TGS) au micro-	C2-215	par les marches	85
scope électronique à balayage	C2-215	Maussion (M.). — Voir Le Bihan (R.)	C2-215
Lefeuvre (S.) et Jongejans (A.). — Admittance d'entrée et champs rayonnés par un guide		Mazzetti (P.), Montalenti (G.) and Soardo (G.	
d'onde ouvert empli d'un diélectrique de		P.). — On the influence of statistical fluc-	
haute permittivité	C2-97	tuations of concentration on the I_s vs. T	113
Lendway (E.). — Voir Gayda (J. P.)	935	curve of disordered ferromagnetic alloys. Mazzolai (F. M.). — Anelastic relaxation in	113
Lepetre (T. P.). — Interprétation des phéno-		niobium and tantalium annealed in ultra	
mènes acoustoélectriques par une théorie		high vacuum	C6-163
linéaire	C6-160	Medved' (A. V.). — Voir Kmita (A. M.)	C6-202
Levstik (A.), Burgar (M.) and Blinc (R.).		Meessen (A.). — The anomalous infra-red	
Critical properties of TGS and RS as determined by a-d-c electric field method	C2-235	absorption of alkali metals and collective	
Lewiner (J.). — Recherches récentes sur les	C2-233	oscillations in small metal particles	371
transducteurs électrostatiques	C6-10	Megaw (H. D.). — Structure and transitions	C2 1
Liberman (D. A.). — The band structure pro-		in perovskites	C2-1
blem in terms of scattered waves	C3-239	Merkulov (I. G.) and Merkulova (V. M.). — Anomalous reflection of ultrasonic beams	
Linderberg (J.) and Poulsen (J. Chr.). —		at the interface of a solid medium with	
Approximate non-empirical tight-binding		attenuation	C6-211
band structure calculations with applica-	G0 100	Merkulova (V. M.). — Voir Merkulov (I. G.).	C6-211
tions to diamond and silicon	C3-123	Michard (F.). — Voir Zarembowitch (A.)	C6-139
Long (A. R.). — Investigations of electron- phonon interactions in copper and alu-		Micheron (F.) et Bismuth (G.). — Enregistre-	
minium	C4-73	ment holographique fixation et effacement	
Lucas (R.). — Le concept de phonon et l'étude		électrique dans des monocristaux de BaTiO ₃ dopés	C2-147
du mirage et des tensions de radiation	C6-76	Migault (A.). — Détermination semi-analy-	02. 1 17
Lundqvist (S.). — Voir Hedin (L.)	C3-73	tique de l'équation d'état des métaux.	
Luther (G.). — Dielectric dispersion of TGS.	C2-221	Modèle à deux coefficients de gruneisen	707
Lyubimov (V. N.). — Voir Venevtsev (Yu-N.)	C2-255	Migault (A.) et Jacquesson (J.). — Essai d'in-	
		terprétation théorique de l'effet électrique induit par la propagation d'une onde de	
Maguire (H. G.) and Rees (L. V. C.). — The		choc dans une chaîne multimétallique	599
investigation of the ferroelectric phase		Mironenko (I. G.). — Voir Vendik (O. G.)	C2-277
change in BaTiO ₃ using electron spin resonance and the Mössbauer effect	C2-173	Mischler (G.). — Voir Lanusse (C.)	429
	C6-145	Mischler (G.). — Voir Redoules (J. P.)	281
Makarov (E. F.). — Voir Baldokhin (Yu. V.).	C0-145	Mitin (A. V.). — Voir Baldokhin (Yu. V.)	C6-145
Málek (Z.), Janta (J.) and Chanussot (G.). — The influence of surface effects on the		Moll (N. J.), Otto (O. W.) and Quate (C. F.).	
The influence of surface cheets on the		- Scanning optical patterns with acoustic	
pyroelectric behaviour of TGS close to the		surface waves	C6-231

Monkhorst (H. J.). — Voir Harris (F. E.)	C3-99	Peckenzell (J.). — Voir Renk (M. F.)	C4-103
Montalenti (G.). — Voir Mazzetti (P.)	113	Perez (J.). — Voir Vincent (A.)	C6-170
Morgan (G. J.). — Screened ions in solids	C3-49	Perrigot (J.). — Voir Bernard (M.)	C2-259
Moriamez (M.). — Voir Bridoux (E.)	C6-245	Perrigot (J.). — Voir Bernard (M.)	C2-93
Moriamez (M.). — Voir Marini (J.)	C6-53	Perrin (N.) and Budd (H.). — Phonon gene-	
Moruzzi (V. L.). — Voir Williams (A. R.)	C3-131	ration by Joule heating in metal films	C4-33
Mueller (R. K.). — Acoustic holography	C6-35	Perrot (F.). — Utilisation dans le néon et l'ar-	
	C0-33	gon solides du potentiel paramétrique de	
Müller (D.) and Petersson (J.). — Influence of the electrical boundary conditions on the		polarisation de Mittleman, déterminé par	
NMR — relaxation rate of ²³ Na in		étude de la diffusion élastique électron-	020
NaNO ₂	C2-193	atome	929
Müser (H. E.). — Investigations of surfaces of		Perrot (F.) A. P. W. — Hartree-Fock calcu-	C3-119
ferroelectrics with semiconducting elec-		lations in insulating crystals	
trodes	C2-17	Petersson (J.). — Voir Müller (D.)	C2-193
Müser (H. E.) and Schmitt (H.). — Measu-		Petrakian (J. P.). — Théorie des groupes et théorie élémentaire des bandes d'énergie	
rements of complex piezoelectric constants	G0 100	des terres rares lourdes	273
in ferroelectric crystals	C2-103	Petroff (J. F.). — Voir Izrael (A.)	C2-203
Muzalevskii (A. A.). — Voir Berzuker (I. B.).	C2-139		C2-203
Mylnikova (I. E.). — Voir Krainik (N. N.)	C2-179	Pettifor (D. G.). — Transition metal wave functions: a first principles resonant TB	
		approach	C3-191
Nabarro (F. R. N.). — Singular lines and sin-		Phillips (J. C.). — Electronic structure of	
gular points of ferromagnetic spin systems and of nematic liquid crystals	1089	semiconductors	C3-27
Narayanamurti (V.) and Dynes (R. C.).	1007	Piccioli (N.), Besson (J. M.) et Balkanski (M.).	
Phonons fluorescence in superconductors	C4-11	— Caractérisation optique et électrique	
Nelmes (R. J.). — Ammonium hydrogen sul-	0111	de couches minces cristallines de tellu-	
phate, its structure and the ferroelectric		rure de plomb	119
transition	C2-85	Pieranski (P.), Brochard (F.) and Guyon (E.).	
Nie But Tse. — Voir Takagi (M.)	C6-59	- Static and dynamic behavior of a	
Nomoto (O.). — Diffraction de la lumière par		nematic liquid crystal in a magnetic field.	CO1
les ultrasons : calcul des intensités spec-		Part I: static results	681
trales en cas des incidences de Bragg de		Pinard (P.). — Voir Boutard (M.)	787
divers ordres selon la théorie de Brillouin	C6-189	Popov (S. N.). — Voir Krainik (N. N.)	C2-179
Nourtier (A.). — Résistivité idéale du mercure		Pouliquen (J.). — Voir Caudron (F.)	C6-220
à basse température	135	Poulsen (J. Chr.). — Voir Linderberg (J.)	C3-123
Nourtier (A.). — Effet de la forme de la sur-		Povitskii (V. A.). — Voir Baldokhin (Yu. V.).	C6-145
face de Fermi sur la résistivité idéale des		Prieur (J. Y.). — Comparaison entre une	
métaux polyvalents	579	configuration de Hall et une configuration	
Novaković (L.). — A dynamical behaviour of	C2 72	de Corbino pour l'amplification d'ondes	1071
the ferroelectric spins	C2-73	ultrasonores	10/1
Olson (J.). — Voir Kohn (W.)	C3-135	Prieur (J. Y.). — Atténuation d'ondes ultra- sonores dans l'antimoniure d'indium	
	C3-133	dégénéré	397
Ormancey (G.). — Influence de l'humidité sur la répartition de potentiel dans BaTiO ₃	C2-113	degenere	
Osborne (D. V.). — Voir Ribbands	C4-119	Quate (C. F.). — Voir Cunningham (J. A.)	C6-42
		Quate (C. F.). — Voir Moll (N. J.)	C6-231
Ostrowsky (D.). — Voir Hartemann (P.)	C6-216	Quittet (A. M.). — Voir Fontana (M. P.)	C2-53
Otani (T.) et Jessel (M.). — Directivité et	C6 61	Quittet (A. M.) et Lambert (M.) Etude	
réflectivité des ondes acoustiques pulsées	C6-61	diélectrique des monocristaux de BaTiO ₃	
Otto (O. W.). — Voir Moll (N. J.)	C6-231	irradiés aux neutrons rapides	C2-141
Pajewski (W.). — Ultrasonic generators with		Thereto (A.S. T. a. 1997) and the second	
vibrating piezoelectric plates	C6-258	Rapini (A.). — Instabilités magnétiques d'un smectique C	237
Paletto (J.). — Voir Kleimann (H.)	C2-269		231
Palma (A.). — Voir Alippi (A.)	C6-263	Rault (J.). — Irrégularités sur les lignes de dislocation dans les nématiques et dans les	
Palmieri (L.). — Voir Alippi (A.)	C6-263	cholestériques	383
Pannetier (B.) et Zylbersztejn (A.). — Influence	C0-203	Redoules (J. P.), Carrara (P.), Fert (A. R.),	
du contact avec le bain d'hélium dans les		Lanusse (M. C.) et Mischler (G.). — Mé-	
expériences d'impulsions de chaleur	C4-69	tamagnétisme du grenat d'erbium et de	
Papoular (M.). — Remarques sur quelques		gallium	281
propriétés acoustiques et thermiques des		Redoules (J. P.). — Voir Lanusse (M. C.)	429
verres à basse température	C6-91	Rees (L. V. C.). — Voir Maguire (H. G.)	C2-173
Pappalardo (M.). — Directivity pattern of a		Reiber (L. M.). — Préparation et propriétés de	
linear array transducer in high frequency		couches minces du type perovskite (oxydes	
range	C6-32	mixtes ABO ₃)	C2-263
Parker (R. S.). — Voir Schmidt (V. H.)	C2-109	Reiber (M.). — Voir Hartemann (P.)	C6-216

Remoissenet (M.) et Gard (R.). — Spectre in-	1 1 10 10 10	Schuurmans (M. F. H.). — Voir Van Hae-	
frarouge lointain de cristaux de RbH ₂ PO ₄	C2-105	ringen (W.)	C3-185
Renard (J. P.). — Résonance magnétique des deutons en champ nul dans CuCl ₂ , 2 D ₂ O	1059	Schwarz (K.) and Herman (F.). — Construction of an optimized Z-independent sta-	
Renk (K. F.) and Peckenzell (J.). — Bottleneck of 29 cm ⁻¹ phonons in ruby	C4-103	tistical exchange potential for atomic, molecular, and solid state calculations	C3-277
Ribbands (M. S.) and Osborne (D. V.). — Heat	C4-103	Segall (B.). — Application and extensions of	
pulse interaction	C4-119	the Green's function method	C3-31
Ribet (J. L.). — Voir Sapriel (J.)	C6-150	Segall (B.). — Voir Sommers (C. B.)	C3-39
		Segmuller (A.). — Voir Carlson (D. G.)	C4-81
Richard (M.). — Voir Bernard (M.)	C2-93	Shabanov (V. F.). — Voir Aleksandrova (I.	
Richard (M.). — Voir Kleimann (H.)	C2-269	P.)	C2-63
Riedinger (R.). — Voir Demangeat (C.)	C3-251	Sheard (F. W.) and Toombs (G. A.). — The	
Rigamonti (A.). — Voir Bornera (G.)	C2-195	effect of defect scattering on phonon	~
Rivenez (B.). — Voir Marini (J.)	C6-53	transmission through interfaces	C4-61
Rivoallan (L.). — Voir Sapriel (J.)	C6-150	Shiren (N. S.). — A possible method for attaining periodic trains of short heat	
Rodin (A. I.). — Voir Belyaev (L. M.)	C2-123	pulses	C4-45
Rogers (S. J.). — Second sound in solids the		Shirokov (A. M.). — Voir Shuvalov (L. A.)	C2-165
effects of collinear and non-collinear three	C4 111	Shukla (G. C.). — Voir Žekš (B.)	C2-67
phonon processes	C4-111	Shuvalov (L. A.), Askochensky (A. A.) and	- 17/11/
Rolev (B. N.). — On some possibilities of		Kirikov (V. A.). — The pecullar domain	
determining the volume of kanzig regions in ferroelectrics	C2-257	structure and its unusual behaviour in the	
Rossat-Mignod (J.) et Tcheou (F.). — Effet	02-237	β -phase of the ferroelectric NaH ₃ (SeO ₃) ₂	C2-163
du champ cristallin sur la direction des		Shuvalov (L. A.), Shirokov (A. M.), Ivanov	
moments magnétiques des ions de terres		(N. R.), Baranov (A. I.), Kirpichnikova (L. F.) and Schagina (N. M.). — Phase dia-	
rares occupant des sites de très basse		gram of Na(D _x H _{1-x}) ₃ (SeO ₃) ₂ system vs	
symétrie (C_2 - C_8)	423	concentration, temperature, field and	
Rouaven (J. M.). — Voir Bridoux (E.)	C6-245	pressure	C2-165
Rouse (K. D.). — Voir Zaccai (G.)	C2-133	Silhouette (D.). — Résonance nucléaire dans	
Rousseau (M.). — Voir Zarembowitch (A.)	C6-139	les alliages Y-Ce : interprétation	435
Roux (J.). — Sources ultrasonores de puis-		Slater (J. C.). — New methods in the theory	C2 1
sance pour l'étude des non-linéarités de	2	of molecules and solids	C3-1
l'air	C6-285	Slater (J. C.). — Statistical exchange and the Heisenberg exchange integral	C3-7
Roux (J.). — Strioscopie linéaire de champs	CC 72	Sliwinski (A.). — Voir Jozefowska (J.)	C6-239
ultrasonores dans l'air	C6-72	Smith (R. T.) and Stephens (R. W. B.). —	
Rouzeyre (M.). — Voir Attal (J.)	C6-156	Attenuation of weak shock waves in	
Rouzeyre (M.). — Voir Cambon (G.)	C6-206	liquids	C6-114
Rüdiger (U.). — Voir Unruh (HG.)	C2-77	Smolensky (G. A.) and Isupov (V. A.). — New	
Ryan (J. F.), Katiyar (R. S.) and Taylor (W.).		classes of ferroelectrics of displacement type	C2-25
— Raman scattering from ferroelectric modes in the KDP isomorphous phos-		Snow (E. C.). — Voir Boring (A. M.)	C3-89
phates and arsenates	C2-49	Soardo (G. P.). — Voir Mazzetti (P.)	113
		Socino (G.). — Voir Alippi (A.)	C6-263
Saada (G.). — Voir Doukhan (N.)	915	Sokolova (L. S.). — Voir Verbitskaya (T. N.)	C2-273
Sabisky (E. S.). — Voir Anderson (C. H.)	C6-87	Solov'ev (S. P.), Kuzmin (I. I.), Zakurkin (V.	C2-213
Sagnes (G.). — Voir Cambon (G.)	C6-206	V.) and Dudarev (V. Ja). — X-ray and	
Sal'nikov (V. D.). — Voir Venevtsev (Yu-N.)	C2-241	dielectric studies of irradiated perovskites	
Sapriel (J.), Rivoallan (L.) et Ribet (J. L.). —		type compounds	443
Propriétés acoustiques et acousto-optiques	L.P. Thalan	Sommers (C. B.), Juras (G.) and Segall (B.). —	
du soufre α	C6-150	Relativistic KKR calculations on heavy	C2 20
Savenkova (G. E.). — Voir Klimov (V. V.)	C2-243	metals (lead)	C3-39
Savtchenko (E. A.). — Voir Fridkin (V. M.)	C2-127	Spanjaard (D.) and Hartmann-Boutron (F.).—	C2-83
Schagina (N. M.). — Voir Shuvalov (L. A.)	C2-165	Study of radioactive impurities in solids	
Scherrer (S.) et Deviot (B.). — Etude par résis-		II. Effects of relaxation and radiofrequency	565
tivité des lacunes retenues par trempe dans	895	Spanjaard (D.). — Voir Hartmann-Boutron (F.)	285
le nickel pur	073	Sperber (G.). — Voir Calais (J. L.)	C3-205
Schluter (M.). — A pseudopotential approach to the electronic structure of III-IV layer		Stankowski (J.) and Waplak (S.). — Influence	
compounds	C3-273	of spontaneous polarization on the EPR	C2 177
Schmidt (V. H.) and Parker (R. S.). — Ana-		spectra of Cr ³⁺ ions in TGFB	C2-177
lysis of hysteresis loops in LiN ₂ H ₅ SO ₄	C2-109	Stebe (B.) et Elkomoss (S. G.). — Etude théorique du complexe exciton-donneur-neutre	
Schmitt (H.). — Voir Müser (H. E.)	C2-103	influence des effets de polarisations élec-	
Schnatterly (S. E.) and Fontana (M.). — Opti-		troniques et ioniques sur l'énergie de	
cal properties and spin dynamics of FeCl ₂	691	liaison du complexe	877

Steigmeier (E. F.). — Raman scattering in		Vacher (R.). — Voir Fontaine (H.)	1115
ferroelectrics	C2-15	Vadacchino (M.). — Voir Antonini (M.)	C2-83
Steigmeier (E. F.) and Harbeke (G.). — Critical phenomena in SbSI	C2-55	Valenta (M. W.), Kuchar (F.) and Frankus (P.). — « Diffuse-to-sharp » ferroelectric phase	
Stephens (R. W. B.). — Piezoelectricity and the growth of ultrasonics	C6-4	transition systems $Pb(B'_{0,5}Nb_{0,5})_{1-x}B_xO_3$ where $B' = Fe$ or Sc and $B'' = Zr$ or Hf	C2-247
Stephens (R. W. B.). — Voir Smith (R. T.)	C6-114	Vallade (M.). — Voir Dolino (G.)	C2-21
Stirling (W. G.) and Cowley (R. A.). — The		Van Haeringen (W.), Schuurmans (M. F. H.)	
lattice dynamics of strontium titanate	C2-135	and Junginger (H. G.). — Analysis of	
Stocks (G. M.). — Voir March (N. H.)	C3-259	electronic structure using empirical pseu-	
Stringfellow (M.). — Voir Wallace (E. A.)	C2-59	dopotentials	C3-185
Strukov (B. A.), Baddur (A.) and Koptsik (V.		Varret (F.), Czeskleba (H.), Hartmann-Boutron	
A.). — Some thermodynamical properties of KDP-DKDP mixed crystals	C2-155	(F.) et Imbert (P.). — Etude par effet Mössbauer de l'ion Fe ²⁺ en symétrie tri-	
Taylor (W.). — Voir Ryan (J. F.)	C2-49	gonale dans les composés du type (Fe, $M)_2MO_3O_8(M = Mg, Zn, Mn, Co, Ni)$	
Takagi (M.), Nie But Tse, Amuedo (J. W.) and		et propriétés magnétiques de (Fe,	
Wade (G.). — Digital enhancement of		Zn) ₂ MO ₃ O ₈	549
acoustic images	C6-59	Vekhter (B. G.). — Voir Bersuker (I. B.)	C2-139
Tcheou (F.). — Voir Rossat-Mignod (J.)	423	Vendik (O. G.), Mironenko (I. G.) and Ter-	
Ter-Martirosyan (L. T.). — Voir Vendik (O.		Martirosyan (L. T.). — Some properties	
G.)	C2-277	and application of ferroelectrics at micro-	
Thery (P.). — Voir Deroyon (JP.)	143	waves	C2-277
Thiennot (J.). — Les ondes de charge d'espace		Venevtsev (Yu-N.), Lyubimov (V. N.), Iva-	
dans les semiconducteurs et l'amplifica- teur à onde progressive à l'état solide	219	nova (V. V.) and Zhdanov (G. S.). —	C2-255
Thiennot (J.). — L'effet de la charge électrique	217	Perovskite type seignettomagnets	C2-233
de surface sur le gain de l'amplificateur à		Venevtsev (Yu-N.), Kapyshev (A. G.), Lebedev (V. M.), Sal'nikov (V. D.) and Zhdanov	
onde progressive à l'état solide	781	(G. S.). — Crystal structure and pro-	
Thomann (H.). — Stabilization effects at the		perties of new cadmium-and thallium-	
phase transition tetragonal : rhombohe-	G2 201	containing perovskites	C2-241
dral in lead zirconate titanate ceramics	C2-281	Venevtsev (Ju-N.). — Voir Klimov (V. V.)	C2-243
Thomas (R.). — Voir Hadni (A.)	C2-201	Verbitskaya (T. N.), Alexandrova (L. M.),	
Thomas (P.). — Voir Kramer (B.)	C3-157	Sokolova (L. S.) and Ulyanov (V. I.). —	
Timochenko (V. I.). — Interactions hydrodynamiques des particules dans le champ		The electrical properties of non-linear ferroelectric ceramics with the perovskite	
acoustique de grande amplitude	C6-252	structure	C2-273
Tittmann (B. R.). — Velocity and internal	1 1713 1111	Vichnin (V. S.) et Deiguen (M. F.). — Reso-	16) - 12
friction in lunar rocks	C6-271	nance acoustique dans des cristaux conte-	
Toombs (G. A.). — Voir Sheard (F. W.)	C4-61	nant des ions d'impuretés excentrés	C6-124
Torguet (R.). — Voir Hartemann (P.)	C6-216	Victor (A. E.), Altam (H. E.) and Beyer (R. T.).	
Torguet (R.), Bauza (J. M.) et Carles (C.). —		- Ultrasonic absorption measurements	AUTOR-
Applications de la déviation de la lumière		in single molecular crystals	C6-166
par les ondes élastiques	C6-235	Vigier (P.) et Haymann (P.). — Parois symé-	m 1514 111
Trommsdorff (H. P.). — Voir Galaup (J. P.).	1067	triques à 180°	793
Trontelj (Z.). — Study of slow motion of		Vincent (A.), Perez (J.) et Gobin (P. F.). —	
water molecules in Rochelle salt and in ammonium Rochelle salt by spin-lattice		Etude du mouvement des dislocations dans l'aluminium par mesure de l'atté-	
relaxation of protons in rotating frame	C2-189	nuation et de la vitesse des ondes ultra-	
Trumpp (J.), Epperlein (P.) and Lassmann (W.).	02 107	sonores	C6-170
— Experimental results on absolute pho-		Volk (T. R.). — Voir Fridkin (V. M.)	C2-127
non detection sensitivity of superconduct-		Von-Gutfeld (R. J.). — Techniques and results	
ing tunnelling junctions	C4-29	of heat pulse experiments	C4-1
Tsallis (C.). — Dynamics of KH ₂ PO ₄ type		and the state of t	
ferroelectric phase transitions	1121	Waber (J. T.), Kennard (E.) and Yu-Ping	
Tufeu (R.) et Kieffer (J.). — Etude compara-		Tsui. — Surface energy and surface	
tive entre les prévisions des théories du		potentials of transition metals	C3-103
transport dans les fluides denses et les valeurs expérimentales de la conductivité		Wade (G.). — Voir Takagi (M.)	C6-59
thermique des gaz rares	673	Wallace (E. A.), Cochran (W.) and String- fellow (M.). — Determination of the eigen-	
Ulyanov (V. I.). — Voir Verbitskaya (T. N.)	C2-273	vectors of soft modes in KD ₂ PO ₄ and in	TATE OF THE
Unruh (H. G.) and Rüdiger (U.). — The		ND ₄ D ₂ PO ₄	C2-59
ferroelectric transition of (NH ₄) ₂ SO ₄	C2-77	Wang (W. C.) and Das (P.). — Enhanced sur-	
Uzan (E.) et Chandrasekharan (V.). — Polari-		face wave convolver using a piezoelectric semiconductor	C6-196
sabilité électronique des ions dans des cristaux uniaxes. L'exstème trigonal	771	Wanlak (S.). — Voir Stankowski (I.)	C2-177
CHSTATIA DITTALES, L. SYSTETIE ITTE (DIST		TIADIAN ISAA - VOIT STANKAWSKI [.]	1.7-171

Weck (G.) and Ziebert (V.). — Piezoresistivity of thin semiconducting films	C2-227	Zana (R.). — Origine de l'absorption ultra- sonore dans les solutions aqueuses de	
Weger (M.). — Voir Goldberg (I. B.)	C3-223	polyélectrolytes naturels et synthétiques	C6-108
Weis (O.). — The solid-solid interface in thermal phonon radiation	C4-48	Zarembowitch (A.), Michard (F.) et Rousseau (M.). — Une illustration de l'apport des ultrasons aux études de dynamique du réseau cristallin : discussion des relations de Szigeti	C6-139
relaxation phonons by superconducting aluminium tunnelling functions	C4-25	Žekš (B.), Shukla (G. C.) and Blinc (R.). —	C0-157
Whipps (P. W.). — Voir Keve (E. T.)	C2-229	Dynamics of ferroelectric Rochelle salt	C2-67
	CL-223	Zhdanov (G. S.). — Voir Venevtsev (Yu-N.)	C2-255
Wigmore (J. K.). — The interaction of heat pulses with paramagnetic spins	C4-107	Ziebert (V.). — The films on TGS cleaved in UHU	C2-223
Williams (A. R.), Janak (J. F.) and Moruzzi (V.		Ziebert (V.). — Voir Weck (G.)	C2-227
L.). — Relating theory to experiment: the optical properties of copper	C3-131	Zilinskas (G.). — Resolution of a quasi- monochromatic partially coherent acous-	02 22
Winter (J. M.). — Calcul microscopique des fonctions de corrélations dynamiques de		tic imaging system	C6-52
spin au-dessus de la température critique	1099	Ziman (J. M.). — Difficulties with open structures	C3-209
Ya Girshberg (G.). — Voir Bursian (E. U.)	C2-69	Zylbersztejn (A.). — Interactions électron- impulsion de chaleur dans les semi-	
Yu-Ping-Tsui. — Voir Waber (J. T.)	C3-103	conducteurs	C4-85
Yuzvak (V. I.). — Voir Aleksandrova (I. P.)	C2-63	Zylberstejn (A.). — Voir Huet (D.)	C4-91
		Zylbersztejn (A.). — Voir Pannetier (B.)	C4-69
Zaccai (G.), Hawat (A. W.) and Rouse (K. D.). — KTN, structural and dynamical studies	C2-133	Zylberstejn (A.). — Etude des phonons de très haute fréquence par la technique des	
Zakurkin (V. V.). — Voir Solov'ev (S. P.)	443	impulsions de chaleur	C6-144

